

본 문서는 한국수력원자력(주)이 정보 공개용으로 작성한 문서입니다.

월성 2 호기 최종안전성분석보고서

표 15.2.1.3.C-8 에서는 예측된 과도상태의 주요 사건을 보여준다. 그림 15.2.1.3.C-24 및 15.2.1.3.C-25 에서는 각각 단기 및 장기적인 격납건물 압력 과도상태를 보여준다. 감속재 방출도관을 통하여 증기발생기실로의 방출은 채널이 파단되자마자 발생한다고 가정한다. 비상노심냉각계통이 작동신호를 받지만 작동되지 못하는 시간인 약 330 초까지의 압력 및 온도 과도상태는 모든 안전계통이 사용한 경우와 똑같다.

살수가 고갈되는 약 342 초까지 압력은 계속 하강한다. 이후에 증기발생기실로 방출되는 질량 및 에너지 효과 때문에 압력은 상승한다. 계기공기 주입이 종료되고 에너지생성원이 에너지제거원보다 적어지는 약 16840 초 이후에 압력은 감소하기 시작한다. 계속되는 격납건물 압력에 대한 과도상태는, 증기발생기실의 압력이 대기압으로 떨어지는 시간이 약 5.7 일 대신 약 5.6 일인 점을 제외하면, 모든 안전계통이 사용한 경우와 유사하다.

그림 15.2.1.3.C-26 및 15.2.1.3.C-27 에서는 각각 단기 및 장기적인 격납건물 온도 과도상태를 보여준다. 최대 증기발생기실 온도 (약 175 초에서 50°C) 와 장기 온도 (약 41°C) 는 모든 안전계통이 사용한 경우와 동일하다.

격납건물내 대기중 I-131 및 Xe-133 의 거동은 각각 그림 15.2.1.3.C-28 및 15.2.1.3.C-29에서 보여준다. 칼란드리아 방출도관을 통해 증기발생기실로 방출되는 I-131 은 감속재내에서 20 분의 1 로 회석된다. 불활성기체는 회석되지 않고 감속재 의해 쉽게 세척되지 않으며 어떤 제거과정으로도 격납건물 대기로부터 제거되지 않는다. 따라서 Xe-133 의 총량은 즉시 증기발생기실로 방출된다. 증기발생기실의 방사성핵종량은 격납건물내 다른 영역으로 확산되면서 계속 감소하게 된다.

격납건물로부터 주위환경으로의 I-131 및 Xe-133 누출은 각각 그림 15.2.1.3.C-30 및 15.2.1.3.C-31에서 보여준다. 주위 환경으로의 I-131 및 Xe-133 총 누출량 (주로 누설에 의해 발생) 은 각각 약 20 TBq 와 43136 TBq 이다. 모든 방사성핵종에 대한 상세한 격납건물로부터의 누출 예측이 표 15.2.1.3.C-9에 주어져 있다.

15.2.1.3.C.3.3.8 대중 선량 분석 결과

임계연령군의 개인 및 주민에 대한 선량은 기존의 증기발생기세관 누설에 의한 기여분 (피더 파단 분석으로부터) 을 포함하여 각각 표 15.2.1.3.C-10 및 표 15.2.1.3.C-11에 주어져 있다. 개인에 대한 전신 및 갑상선 선량은 각각 3.4 mSv 와 16 mSv 이다. 주민에 대한 전신 및 갑상선 선량은 각각 17 person-sieverts 와 88 person-sieverts 이다. 개인 및 주민에 대한 선량은 모

15.2.1.3.C-23

95/04/10

본 문서는 한국수력원자력(주)이 정보 공개용으로 작성한 문서입니다.

월성 2 호기 최종안전성분석보고서

두 허용한도 이내이다.

15.2.1.3.C.3.3.9 수소 분포

15.2.1.2.C.2 절의 비상노심냉각수 주입상실을 동반한 소형 냉각재상실사고에 대한 결과가 압력관 파단에도 적용가능하다.

15.2.1.3.C.3.4 결론

세 계통모사의 주요 사건전개가 표 15.2.1.3.C-1에 요약되어 있다. 계통 및 단일채널 모사를 통해서 모관이 성충화될 때까지 파단회로내의 핵연료는 냉각됨을 알 수 있다. 비상노심냉각수 주입상실을 동반한 소형 냉각재상실사고 (2.5% 원자로입구모판 파단)에 대한 분석이 이 경우에 대해서도 적용가능하다. 파단된 채널 이외의 핵연료채널은 전전성을 유지한다. 파단회로의 압력관은 칼란드리아관과 접촉할 수 있지만 감속재 과냉각이 충분하다. 핵연료로부터의 방사성핵종 누출에 의한 주민선량은 규정 한도 이내이다.

정지계통은 운전원 조치가 취해질 때까지 원자로를 미임계 상태로 유지시키기에 충분한 부 반응도깊이가 있다. 극한경우는 오랫동안 정지상태에서 기동된 후 플루토늄증식 첨두노심에서 발생한 압력관 파단시의 제1정지계통이다. 발전소 설계수명에 비하여 플루토늄증식 첨두노심 기간 (4 ~ 5 주)은 짧다. 이런 모든 조건하에서 비상노심냉각이 손상될 확률은 극히 희박하다.

15.2.1.3.C.4 냉각재계통 회로격리 고장

15.2.1.3.C.4.1 사건전개

회로격리를 위한 냉각재계통 저압 설정치에 도달하지만 회로는 격리되지 않는다고 가정 한다. 그렇지만 비상노심냉각수 주입 및 증기발생기 급냉 기능은 가능하다. 냉각재회로 격리 상 실에 대한 사건전개는 다음 예외를 제외하고 회로격리가 적용한 경우와 비슷하다 :

가. 비파단회로로부터 파단회로로 재고량이 계속 방출됨에 따라 비파단 냉각재회로는 감압된다.

두개의 회로는 강제순환이나 자연순환과 증기발생기에 의한 열제거로 냉각을 유지한다. 결국 비상노심냉각수는 비슷한 시기에 두 회로로 주입되며 전체 계통의 재충수가 시작된다.

나. 냉각재계통의 장기 냉각은 냉각재계통의 압력과 온도가 충분히 떨어져서 정지냉각계통이 작동 될 때까지 증기발생기에 의해 이루어진다. 파단회로는 비상노심냉각계통 열교환기에 의해 냉

15.2.1.3.C-24

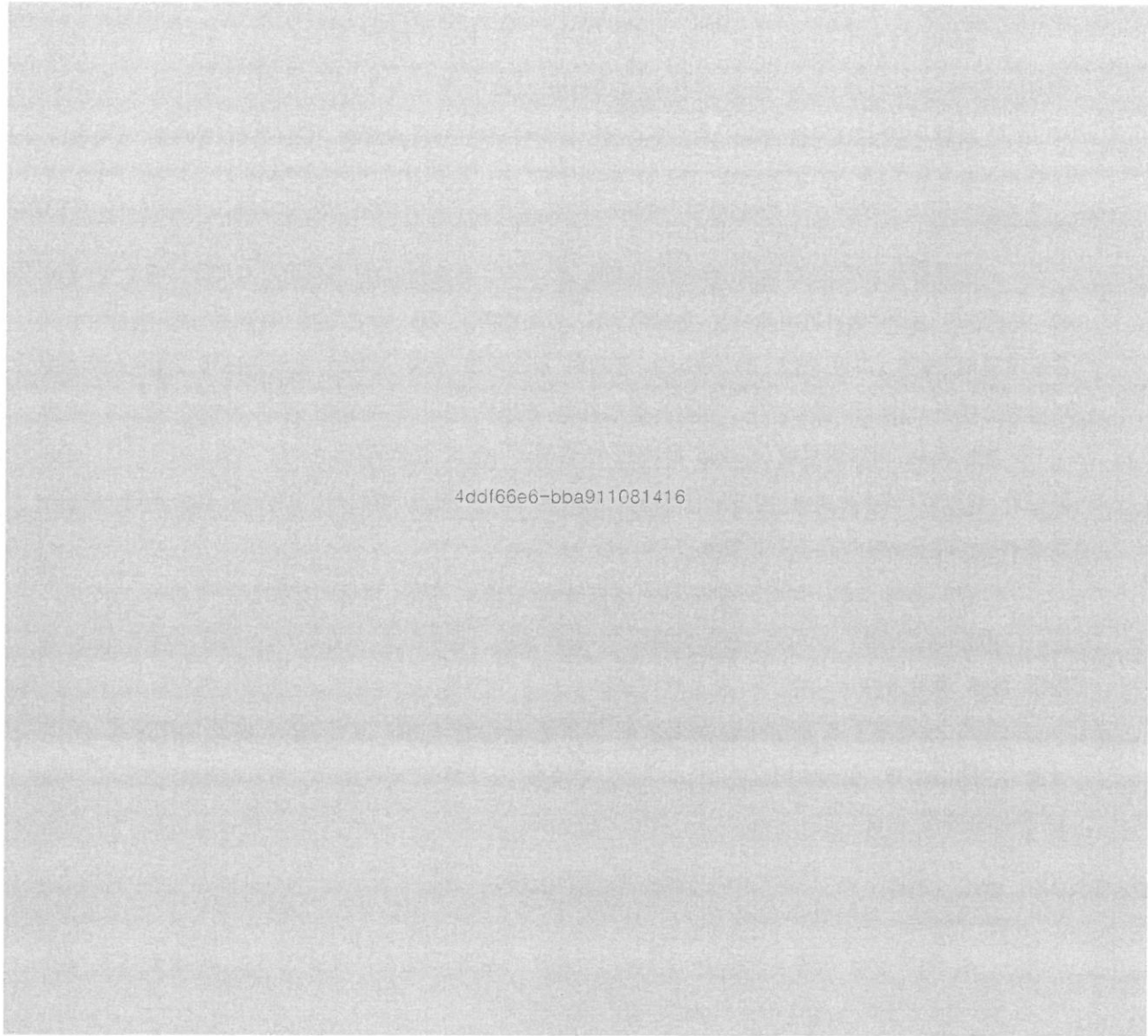
95/04/10

본 문서는 한국수력원자력(주)이 정보 공개용으로 작성한 문서입니다.

월성 2 호기 최종안전성분석보고서

각된다.

15.2.1.3.C.4.2 분석 방법론 및 가정



4ddf66e6-bba911081416

15.2.1.3.C.4.3 분석 결과

다음 절은 회로격리 손상시 냉각재계통 모사, 단일채널 모사 및 감속재계통 모사에 대한

15.2.1.3.C-25

95/04/10



본 문서는 한국수력원자력(주)이 정보 공개용으로 작성한 문서입니다.

월성 2 호기 최종안전성분석보고서

분석 결과를 기술한다.

15.2.1.3.C.4.3.1 열수력

15.2.1.3.C.4.3.1.1 냉각재계통 모사

표 15.2.1.3.C-12 에서는 냉각재계통 회로가 격리되지 않을 때 O6_mod, A9 및 W10 채널에서의 압력관 파단에 대한 주요 사건을 요약하고 있다.

그림 15.2.1.3.C-32 부터 15.2.1.3.C-41 까지에서는 냉각재계통 거동 분석 결과를 제시한다. 냉각재상실사고 신호 및 회로격리 신호가 발생하는 231 초까지의 결과는 회로가 격리되는 경우와 동일하다.

냉각재상실사고 신호가 발생하는 231 초 이후, 회로격리가 이루어지지 않기 때문에 냉각재 재고량은 계속 비파단회로에서 파단회로로 이동한다. 455 초에 자동 펌프트립이 발생하면서 평균채널의 유량 (그림 15.2.1.3.C-36) 은 급격히 감소하고 유체 온도가 포화온도에 접근함에 따라 파단회로에서 기포가 발생한다. 비상노심냉각수 유동이 가압기 배관을 지나 가압기 탱크로 바뀌는 약 500 초에 파단회로의 압력은 갑자기 증가한다 (그림 15.2.1.3.C-34 및 15.2.1.3.C-35). 일단 가압기 탱크가 재충수되면 비상노심냉각수 유동은 파단회로로 흘러서 결국 약 950 초에 채널을 재충수시킨다 (그림 15.2.1.3.C-37c).

979 초에 고압 비상노심냉각수 탱크는 고갈되고 중압 비상노심냉각수 주입이 시작된다 (그림 15.2.1.3.C-38). 모사는 2080 초까지 수행되었다. 살수탱크 고갈을 계산하면 저압주입은 약 2150 초에 개시된다.

각 노심경로의 중심에서 피복관과 압력관 온도는 325°C 보다 훨씬 낮게 유지되어 (각각 그림 15.2.1.3.C-40 및 15.2.1.3.C-41) 적절한 냉각을 보장하며 핵연료 및 핵연료채널 건전성 기준을 만족시키게 된다.

15.2.1.3.C.4.3.1.2 단일채널 모사

이 절에서는 계통모사의 노심경로 4 (파단 채널을 포함한) 에서 생성된 모관에 대한 열수력 경계조건을 사용한 단일채널의 분석 결과를 기술한다.

세 모사로부터 생성된 모관 과도상태가 CATHENA MOD3.5/Rev.1 을 사용한 두 단일채널 모델 B10 및 O6_mod 에 각각 경계조건으로 적용된다. 이 경우들의 단일채널 모사는 예상된

15.2.1.3.C-26

95/04/10

본 문서는 한국수력원자력(주)이 정보 공개용으로 작성한 문서입니다.

월성 2 호기 최종안전성분석보고서

대로 정성적으로 비슷하며 같은 경향을 따른다. 이로 인해 단일병렬채널 O6_mod 를 갖는 평균 채널 계통모사의 과도상태 모관 경계조건을 이용해서 고출력 O6_mod 단일채널에 대한 분석결과만 이 절에서 기술한다.

그림 15.2.1.3.C-42 부터 15.2.1.3.C-46 까지에서 고출력 단일채널 O6_mod 의 모사 결과를 제시하고 있다.

원자로입구모관부터 원자로출구모관 사이의 압력차와 단일채널 모델에 적용된 노심경로 4 에 대한 모관 기포율을 각각 그림 15.2.1.3.C-10 및 15.2.1.3.C-11 에서 보여 준다.

회로격리 손상을 동반한 압력관 파단에 대한 단일채널 결과는 안전계통 작동시의 단일채널 결과와 비슷하다. 두 경우의 주된 차이점은 재충수 시간이다. 회로격리 상실의 경우 파단회로로의 비상노심냉각수 주입이 보다 적기 때문에 재충수가 늦게 예측된다. 결과에 따르면 과도상태 기간동안 노심은 적절히 냉각된다.

최대 피복관 및 압력관 온도는 각각 364°C 와 315°C 보다 낮다 (그림 15.2.1.3.C-46). 온도가 800°C 이하로 유지되기 때문에, 이 온도는 비파단 채널에서 핵연료피복관 손상이 일어나지 않아야 한다는 핵연료 건전성기준을 만족시킨다. 압력관 온도가 600°C 이하로 유지되기 때문에, 이 온도는 과열로 인한 핵연료채널 파손이 일어나지 않아야 한다는 핵연료채널 건전성기준을 만족시키며 상세한 핵연료채널 분석이 요구되지 않는다.

15.2.1.3.C.4.3.2 핵연료

예측된 핵연료피복관 온도가 800°C 보다 훨씬 낮기 때문에, 비파단 채널에서는 핵연료 파손이 일어나지 않으므로 상세한 핵연료 분석이 요구되지 않는다.

15.2.1.3.C.4.3.3 핵연료채널

예측된 압력관 온도가 600°C 보다 훨씬 낮기 때문에, 비파단 핵연료채널이 손상되지 않으므로 상세한 핵연료채널 분석이 요구되지 않는다.

15.2.1.3.C.4.3.4 격납건물 및 선량 결과

발단사건을 제외하고는, 이 사고에서 핵연료 파손이 일어나지 않기 때문에, 격납건물과 대중으로의 방사성핵종 누출은 회로격리가 이루어진 경우와 비슷하다. 대중에 대한 선량은 규정된 한도보다 적다.

15.2.1.3.C-27

95/04/10

본 문서는 한국수력원자력(주)이 정보 공개용으로 작성한 문서입니다.

월성 2 호기 최종안전성분석보고서

15.2.1.3.C.4.4 결론

세 계통모사의 주요 사건전개는 표 15.2.1.3.C-12에 요약되어 있다. 표에서는 고려되는 파단 채널이 서로 다른데 따라 발생하는 사건시점 차이를 제외하고는 정성적으로 비슷한 결과를 보여준다.

계통 및 단일채널 결과는 비파단회로 및 파단회로 모두에서의 비파단 채널이 적절히 냉각됨을 보여준다. 피복관 및 압력관에 대한 최대 온도는 각각 364°C 와 315°C 이하이다. 피복관 온도가 800°C 이하로 유지되기 때문에 비파단 채널에서 핵연료 파손이 없음을 보장하는 핵연료 건전성기준을 만족시킨다. 압력관 온도가 600°C 이하로 유지되기 때문에, 과열로 인한 핵연료채널 파손이 없음을 보장하는 핵연료채널 건전성기준을 만족시키며 상세한 핵연료채널 분석이 요구되지 않는다.

대중에 대한 선량은 이 사고에 대해 규정된 한도 이내이다.

15.2.1.3.C.5 참고문헌

- 15.2.1.3.C-1. "The Use of Two Shutdown Systems in Reactors", AECB Regulatory Document R-10, 1977 January 11.
- 15.2.1.3.C-2. "Requirements for the Safety Analysis of CANDU Nuclear Power Plants", AECB Consultative Document C-6, 1980 June.
- 15.2.1.3.C-3. "Requirements for Shutdown Systems for CANDU Nuclear Power Plants", AECB Regulatory Document R-8, 1991 February 21.
- 15.2.1.3.C-4. "Requirements for Emergency Core Cooling Systems for CANDU Nuclear Power Plants", AECB Regulatory Document R-9, 1991 February 21.
- 15.2.1.3.C-5. "Requirements for Containment Systems for CANDU Nuclear Power Plants", AECB Regulatory Document R-7, 1991 February 21.
- 15.2.1.3.C-6. T.K. Min, T. Chan, "Hydrogen Mixing and Combustion in Reactor Vaults", TTR-91, Rev. 1, 1990 July.
- 15.2.1.3.C-7. G.E. Gillespie et al, "Experiments to Investigate Moderator Boiling When a Pressure Tube Contacts Its Calandria Tube", WNRE-401, 1980 August.
- 15.2.1.3.C-8. G.E. Gillespie, "An Experimental Investigation of Heat Transfer From a Reactor

15.2.1.3.C-28

95/04/10

본 문서는 한국수력원자력(주)이 정보 공개용으로 작성한 문서입니다.

월성 2 호기 최종안전성분석보고서

Fuel Channel to Surrounding Water", Canadian Nuclear Society Conference, Ottawa, 1981 June.

- 15.2.1.3.C-9. G.E. Gillespie, R.G. Moyer and P.D. Thompson, "Moderator Boiling on the External Surface of a Calandria Tube in a CANDU Reactor During a Loss-of-Coolant Accident", AECL-7664, 1982 October.
- 15.2.1.3.C-10. R.G. Moyer, "Pressure Tube/Calandria Tube Contact Heat Transfer Experimental Data", WNRE Report CANDEV 86-48, 1986 June.
- 15.2.1.3.C-11. P.S. Kundurpi, "Consequences of Pressure/Calandria Tube Failure in a CANDU Reactor Core During Full Power Operation", Ontario Hydro Report No. 84301, 1984 October.
- 15.2.1.3.C-12. T.M. Kim, "TUBRUPT Model", 86-03500-AR-004, Revision 0, 1992 September.
- 15.2.1.3.C-13. A. Arbo, "TUBRUPT Program Description", TTR-325 Vol. 1, 1991 December.
- 15.2.1.3.C-14. M. Tomoeda and D. R. Pendegast, "Dynamic Response of a Liquid-Filled Vessel Following a Sudden Injection of High Pressure Fluid", 11th Simulation Symposium, Kingston, Ontario, 1985.011081416
- 15.2.1.3.C-15. J.H.K. Lau and C. Blahnik, "Consequences of Flow Blockage in a CANDU Fuel Channel Under Full Power Operation", Ontario Hydro Report No. 84302, 1984 March.
- 15.2.1.3.C-16. D.A. Jenkins and B. Rouben, "Reactor Fuelling Simulation Program - RFSP : User's Manual for Microcomputer Version", TTR-321, Rev. 1/COG-93-104, 1993 July.
- 15.2.1.3.C-17. D.A. Jenkins and B. Rouben, "Calculation of 3-D Flux Distributions in CANDU Reactors Using Lattice Properties which Include the History of the Lattice", in Proceedings of the 12th Annual Canadian Nuclear Society Conference, Saskatoon, Saskatchewan, 1991 June 09-12.
- 15.2.1.3.C-18. D.B. Miller and E.S.Y. Tin, "POWDERPUFS-V User's Manual", AECL Report TDAI-31, Part 2, 1976 March.
- 15.2.1.3.C-19. B.N. Hanna, Editor, "CATHENA MOD-3.5 Theoretical Manual", AECL-WL Report : RC-982-3/COG-93-140, Rev. 0.0.

15.2.1.3.C-29

95/04/10



본 문서는 한국수력원자력(주)이 정보 공개용으로 작성한 문서입니다.

월성 2 호기 최종안전성분석보고서

- 15.2.1.3.C-20. B.N. Hanna, Editor, "CATHENA Input Reference", AECL-WL Report :
RC-982-5/COG-93-140, Revision 0.0, 1993 May, and
J.P. Mallory, Editor, "CATHENA GENHTP Input Reference", AECL-WL Report:
RC-982-5/COG-93-140, Revision 0.0, 1993 May.
- 15.2.1.3.C-21. W.G.G Brimley, "Steam Jet Mixing in Water", TDVI-362, 1981 December.
- 15.2.1.3.C-22. K.M. Leigh, W.T. Lawton, "Consequences of Pressure Tube Failure in the SGHW 100 MWe Prototype", SGHW/SWP/p. 18, 1962.
- 15.2.1.3.C-23. T.E. Burnup, "Experiments on the Consequences of Bursting Pressure Tubes in NPD-2", NEI-150, 1960 August.
- 15.2.1.3.C-24. P.A. Ross-Ross, "Experiments on the Consequences of Bursting Pressure Tubes in a Simulated NPD Reactor Arrangement", AECL-1736, 1963 February.
- 15.2.1.3.C-25. P.A. Ross-Ross, "Experiments on the Consequences of Bursting Pressure Tubes in a Simulated NPD Reactor Arrangement", Paper F2/2 Presented at 2nd International Conference on Structural Mechanics in Reactor Technology, Berlin, Germany, 1973 September 10-14.
4ddf66e6-bba911081416
- 15.2.1.3.C-26. M. Tomoeda and D.R. Pendergast, "Moderator Pressure Response Following a Channel Rupture in a CANDU Reactor", TTR-128, 1985 April.
- 15.2.1.3.C-27. S.A. Soliman, "Design Report for the Calandria Assembly", Wolsong NPP 2, 3 & 4, 86-31200-SR-001, R-1, 1993 June.

15.2.1.3.C-30

95/04/10



본 문서는 한국수력원자력(주)이 정보 공개용으로 작성한 문서입니다.

월성 2 호기 최종안전성분석보고서

표 15.2.1.3.C-1

비상노심냉각수 주입상실을 동반한 단일병렬채널 모델 O6_mod, A9 및 W10 을 포함한
평균채널 계통모사에 대한 주요 사건 요약

사건	시간 (초)		
	계통모사 O6*	계통모사 A9	계통모사 W10
원자로 트립	199	375	484
냉각재상실사고 신호	231	411	520
터빈 트립	237	413	523
증기발생기 급냉	262	441	550
자동 펌프트립	4dddf66e6-bba914671416	647	757
핵연료가열 개시 (입구보관 성충화)	530	770	895
모사종료	1200	1200	1200

* 주입이 일어나지 않는다고 가정

15.2.1.3.C-31

95/04/10



본 문서는 한국수력원자력(주)이 정보 공개용으로 작성한 문서입니다.

월성 2호기 최종안전성분석보고서

표 15.2.1.3.C-2

비상노심냉각수 주입상실을 동반한 압력관 파단 사고 종료시점 (3030 초) 까지
파단회로로부터의 재고량 누출

동위원소	반감기 (초)	누출량 (TBq)
I-131	6.95E+05	3.48E+05
I-132	8.23E+03	5.60E+05
I-133	7.49E+04	8.54E+05
I-134	3.16E+03	9.48E+05
I-135	2.37E+04	7.99E+05
I-137	2.45E+01	4.19E+05
Kr-83m	6.70E+03	6.55E+04
Kr-85m	1.61E+04	1.60E+05
Kr-85	3.38E+08	5.37E+02
Kr-87	4.56E+03	3.11E+05
Kr-88	1.01E+04	4.40E+05
Kr-89	1.90E+02	5.70E+05
Xe-133m	1.93E+05	2.40E+04
Xe-133	4.57E+05	7.81E+05
Xe-135m	9.18E+02	1.36E+05
Xe-135	3.30E+02	9.14E+04
Xe-137	2.29E+02	7.70E+05
Xe-138	8.52E+02	7.78E+05

15.2.1.3.C-32

95/04/10

본 문서는 한국수력원자력(주)이 정보 공개용으로 작성한 문서입니다.

월성 2 호기 최종안전성분석보고서

표 15.2.1.3.C-3

압력관 파단시 손상되는 정지봉 안내관 갯수

경우	파단위치 (m) (그림 15.2.1.3.C-15 참조)		손상 기구			총 갯수
	x (열)	y	수력	배관 휩	분사력 및 핵연료 충격	
1	2.145 (4)	0.0	9, 14, 16	5, 9, 14, 16, 21	9, 14, 16	5
2	0.429 (10)	0.3	6, 10, 11, 17, 18	2,26	없음	7

4ddf66e6-bba911081416

15.2.1.3.C-33

05/04/10



본 문서는 한국수력원자력(주)이 정보 공개용으로 작성한 문서입니다.

월성 2 호기 최종안전성분석보고서

표 15.2.1.3.C-4

사고 후 여러 시간에서의 방출된 누적질량, 봉소 농도 및 감속재 회색인자

	시간 (분)		
	0	15	20
칼란드리아로의 누적된 방출량 (Mg)	0	67.354	68.960
플루토늄증식 침투시기 노심에서의 봉소 농도 (ppm)	5.378	4.024	4.019
감속재 순도 (a/o)	99.810	99.656	99.653

1. 칼란드리아내 D₂O 질량은 232.3 Mg 으로 가정함
2. 냉각재 방출은 O6 채널 파단에 기초함
3. CERBERUS 작업수행시 사용된 열수력 화일은 모든 경우에 O6 채널 파단을 가정함

15.2.1.3.C-34

95/04/10

본 문서는 한국수력원자력(주)이 정보 공개용으로 작성한 문서입니다.

월성 2호기 최종안전성분석보고서

표 15.2.1.3.C-5

감속재 및 냉각재계통의 중수 순도

노심상태	감속재 순도 (a/o)	냉각재 순도 (a/o)			
		운전하한	운전상한	기포 반응도 에 대한 불확실도 보상	감속재 저급화 결정
플루토늄증식 첨두시기	99.81	99.00	99.20	97.33	99.20
평형	99.81	98.50	99.20	95.64	99.20

4ddf66e6-bba911081416

15.2.1.3.C-35

95/04/10

본 문서는 한국수력원자력(주)이 정보 공개용으로 작성한 문서입니다.

월성 2 호기 최종안전성분석보고서

표 15.2.1.3.C-6

압력관 파단에 대한 순 반응도 결과

경우	노심상태	경과 시간 (분)	
		15	20
1	플루토늄증식 첨두노심 (5 개의 안내관 손상, 8 시간 동안 103% 전출력)	-3.9 mk	-5.1 mk
2	플루토늄증식 첨두노심 (7 개의 안내관 손상, 8 시간 동안 103% 전출력)	-12.5 mk	-14.0 mk
3	평형노심 (5 개의 안내관 손상, 8 시간 동안 103% 전출력)	-15.2 mk	-16.3 mk

4ddf66e6-bba911081416

- 경우 1 및 3에서 5 개의 손상된 정지봉 안내관은 정지봉 안내관 5, 9, 14, 16 및 21 이다.
가장 효과적인 정지봉 (작동되지 않는다고 가정) 은 정지봉-25 이다.
- 경우 2에서 7 개의 손상된 정지봉 안내관은 정지봉 안내관 2, 6, 10, 11, 17, 18 및 26 이다.
가장 효과적인 정지봉 (작동되지 않는다고 가정) 은 정지봉-22 이다.

15.2.1.3.C-36

95/04/10

본 문서는 한국수력원자력(주)이 정보 공개용으로 작성한 문서입니다.

월성 2 호기 최종안전성분석보고서

표 15.2.1.3.C-7

플루토늄증식 첨두노심에서 압력관/칼란드리아관 파단 사고 15 분 후의
반응도 결과 (표 15.2.1.3.C-6 의 경우 1)

매개변수 (반응도 변화)	15 분에서의 반응도 (mk)
1. 감속재 독물질 대치	10.5
2. 냉각재 기포	13.3
3. 냉각재 온도	0.3
4. 핵연료 온도	4.1
5. 감속재 저급화	-4.8
6. 감속재 온도	-0.1
7. 정지봉	-27.1
순 반응도	-3.9

15.2.1.3.C-37

95/04/10

본 문서는 한국수력원자력(주)이 정보 공개용으로 작성한 문서입니다.

월성 2 호기 최종안전성분석보고서

표 15.2.1.3.C-8

비상노심냉각수 주입상실을 동반한 O6_mod 채널에서의 압력관 파단시
격납건물 사건전개

칼란드리아 방출도관을 통한 증기발생기실로의 파단 방출 및 핵분열생성물 누출	0 초
고압에 의한 격납건물격리	74 초
살수 개시	174 초
첨두압력	9.7 kPa(g)
첨두압력 발생시간	175 초
살수원 고갈	342 초
정상 계기공기 주입종료	16841 초
증기발생기실 압력이 대기압으로 떨어지며 격납건물 분석종료	4.82E+05 초

15.2.1.3.C-38

95/04/10



본 문서는 한국수력원자력(주)이 정보 공개용으로 작성한 문서입니다.

월성 2 호기 최종안전성분석보고서

표 15.2.1.3.C-9

비상노심냉각수 주입상실을 동반한 O6_mod 채널에서의 압력관 파단 이후

여러 누출경로를 통한 격납건물로부터의 방사성핵종 누출 (TBq)

총 누출량 (0 ~ 5.6 일)

핵 종	굴뚝	환기입구	누설
H-3	2.2680E-04	6.8100E-12	3.0505E+02
I-131	2.9200E-05	5.3150E-12	1.9381E+01
I-132	5.0500E-05	9.1910E-12	2.4946E+01
I-133	5.9340E-05	1.0800E-11	1.7957E+01
I-134	8.0340E-05	1.4650E-11	1.0255E+00
I-135	5.1100E-05	9.3040E-12	5.7457E+00
Kr-87	2.5570E-03	7.3130E-11	3.5609E+02
Kr-88	3.7300E-03	1.0620E-10	1.2919E+03
Kr-89	3.6230E-03	1.2470E-10	2.6902E-01
Xe-133M	2.4320E-04	6.9000E-12	1.1266E+03
Xe-133	1.0510E-02	2.9810E-10	4.3136E+04
Xe-135M	1.0900E-03	3.0960E-11	9.8140E+02
Xe-135	1.0180E-03	2.8620E-11	6.4751E+03
Xe-137	5.3340E-03	1.7100E-10	8.9196E-01
Xe-138	5.9310E-03	1.7570E-10	5.8233E+01
MIXTURE-I ¹	5.7770E-09	7.2670E-17	7.3785E-04
MIXTU-N.G ²	3.2800E-06	1.6600E-15	2.2925E+00

- 냉각재계통 냉각재로부터의 I-131 (모든 요오드 동위원소에 대해 같다고 가정함).
- 냉각재계통 냉각재로부터의 불활성기체 (Bq.J).

본 문서는 한국수력원자력(주)이 정보 공개용으로 작성한 문서입니다.

월성 2 호기 최종안전성분석보고서

표 15.2.1.3.C-10

비상노심냉각수 주입상실을 동반한 O6_mod 채널에서의 압력관 파단시
임계연령군의 개인에 대한 선량

누출 기간	열함량 (W)*	대기안정도	풍속 (m/s)	개인선량	
				전신 (mSv)	갑상선 (mSv)
격납건물로부터 :	0.0	G	5.0	0.003	0.01
	0.0	G	5.0	1.3	4.83
	0.0	C	6.5	1.7	8.07
	0.0	평균 기후조건		0.3	2.33
기존의 중기발생기세관 누설에 의한 :	0.0	G	5.0	0.11	0.31
	0.0	C	6.5	0.01	0.02
	합 계			3.4	16
개인 선량한도				250	2500

* 건물누설에 대해서는 열함량 무시

15.2.1.3.C-40

95/04/10

본 문서는 한국수력원자력(주)이 정보 공개용으로 작성한 문서입니다.

월성 2호기 최종안전성분석보고서

표 15.2.1.3.C-11

비상노심냉각수 주입상실을 동반한 O6_mod 채널에서의
압력관 파단시 주민에 대한 선량

누출 기간	열함량 (W)*	대기안정도	풍속 (m/s)	주민선량	
				전신 (person-Sv)	갑상선 (person-Sv)
격납건물로부터 : 0 ~ 10 분	0.0	G	5.0	0.002	0.003
	0.0	G	5.0	1.0	2.2
	0.0	C	6.5	12.5	57.6
	0.0	평균 기후조건		3.5	27.3
기존의 증기발생기세판 누설에 의한 : 0 ~ 1 시간	0.0	G	5.0	0.08	0.2
	0.0	C	6.5	0.05	0.3
합 계				17	88
주민 선량한도				10000	10000

* 건물누설에 대해서는 열함량 무시

15.2.1.3.C-41

85/04/10

본 문서는 한국수력원자력(주)이 정보 공개용으로 작성한 문서입니다.

월성 2 호기 최종안전성분석보고서

표 15.2.1.3.C-12

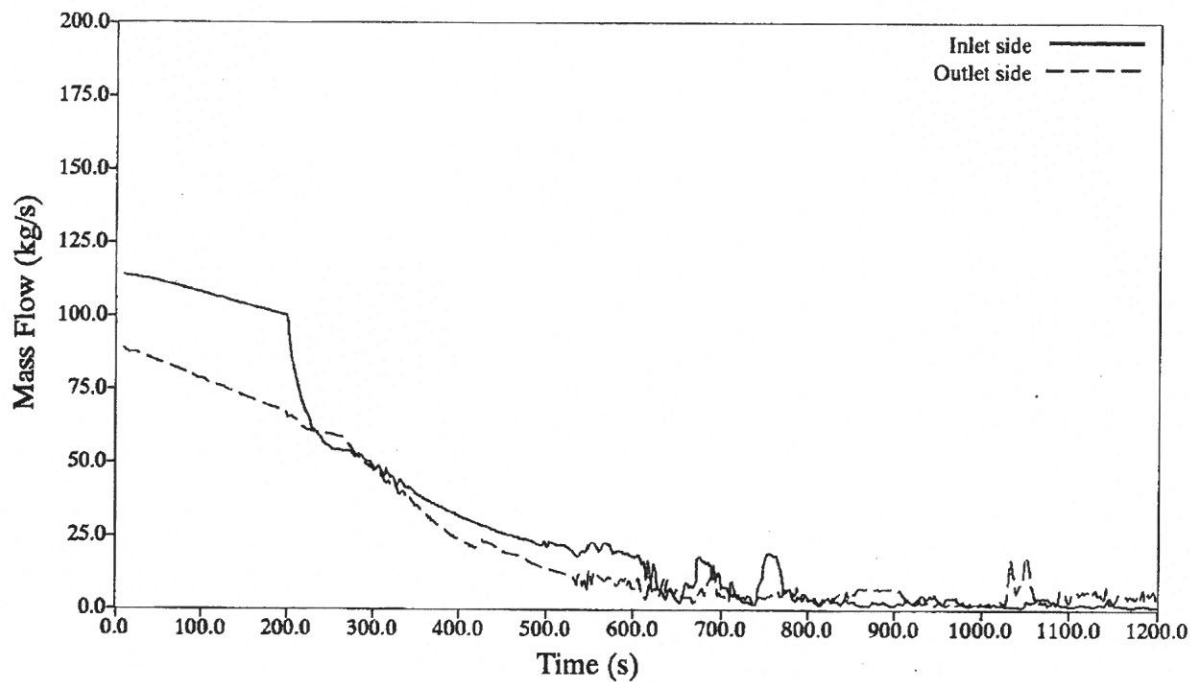
회로격리 손상시 단일병렬채널 모델 O6_mod, A9 및 W10 을 포함한
평균채널 계통모사에 대한 주요 사건 요약

사 건	시간 (초)		
	계통모사 O6_mod	계통모사 A9	계통모사 W10
원자로 트립	199	375	484
냉각재상설사고 신호	231	411	520
터빈트립	236	413	523
증기발생기 급냉	262	441	551
파열판 2 고압 비상노심냉각 개시	319	500	609
파열판 1 고압 비상노심냉각 개시	339	515	626
파단회로 ; 비임계경로 : CHAN3-1 채널 재충수	4dddf66e6-bba911081416	534	644
파단회로 ; 임계경로 : CHAN4-1 채널 재충수	486	536	652
비파단회로 : CHAN2-1 채널 재충수	911	684	650
비파단회로 : CHAN1-1 채널 재충수	791	553	660
자동 펌프트립	453	634	743
중압 비상노심냉각 개시	979	2273	2441
저압 비상노심냉각 개시	~2150	-	-

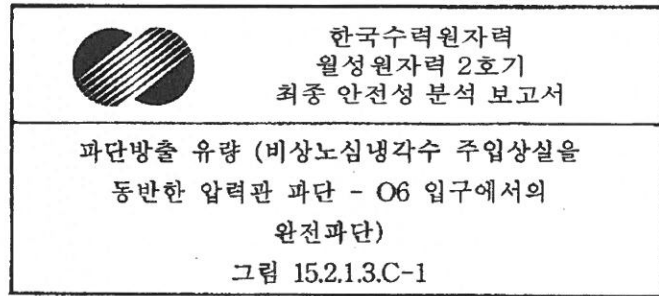
15.2.1.3.C-42

05/04/10

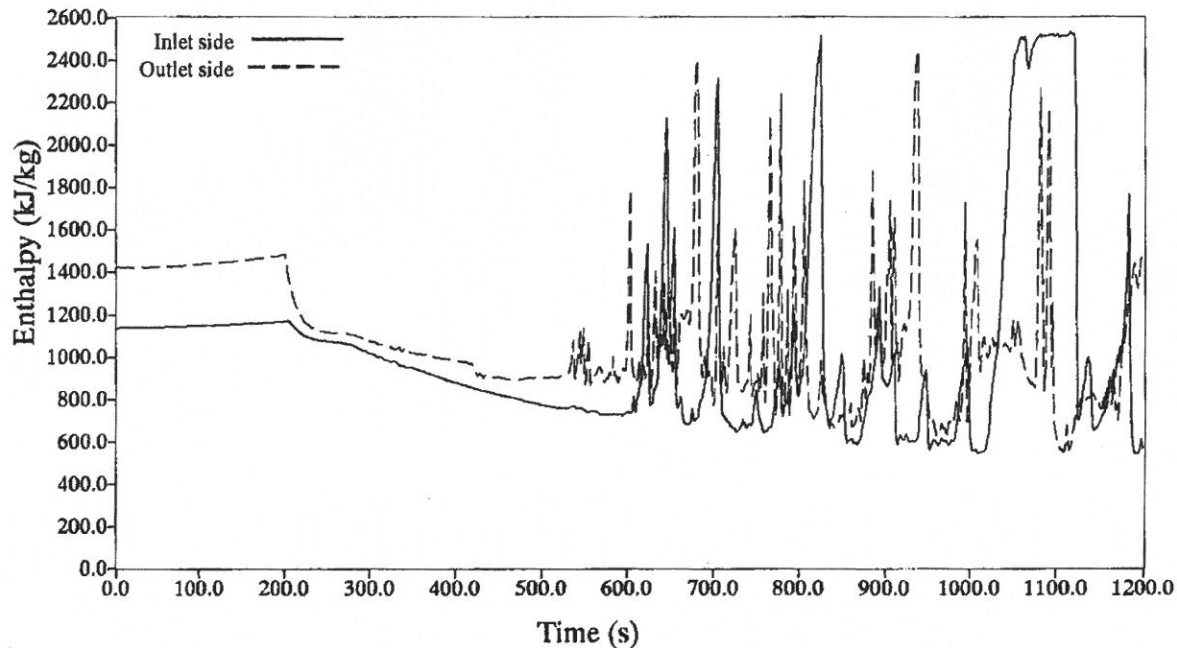
본 문서는 한국수력원자력(주)이 정보 공개용으로 작성한 문서입니다.



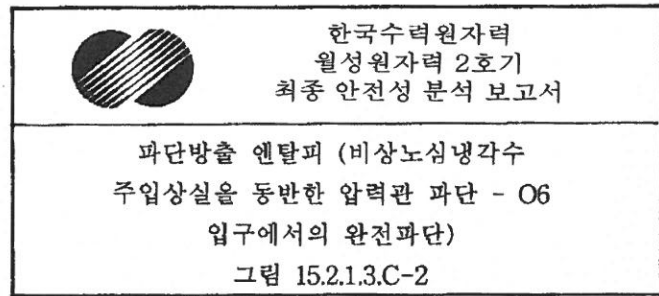
4ddf66e6-bba911081416



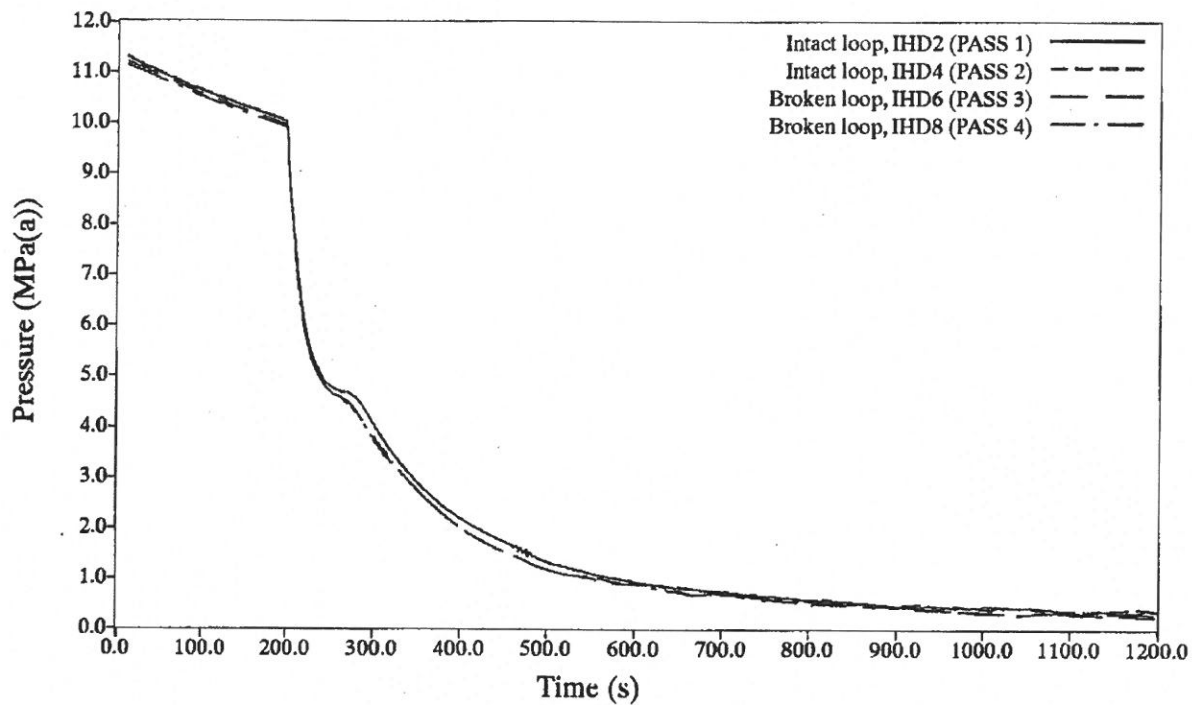
본 문서는 한국수력원자력(주)이 정보 공개용으로 작성한 문서입니다.



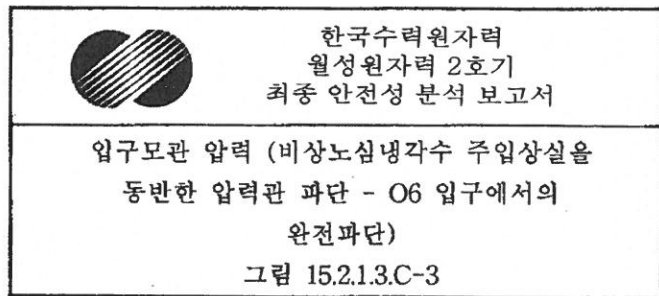
4ddf66e6-bba911081416



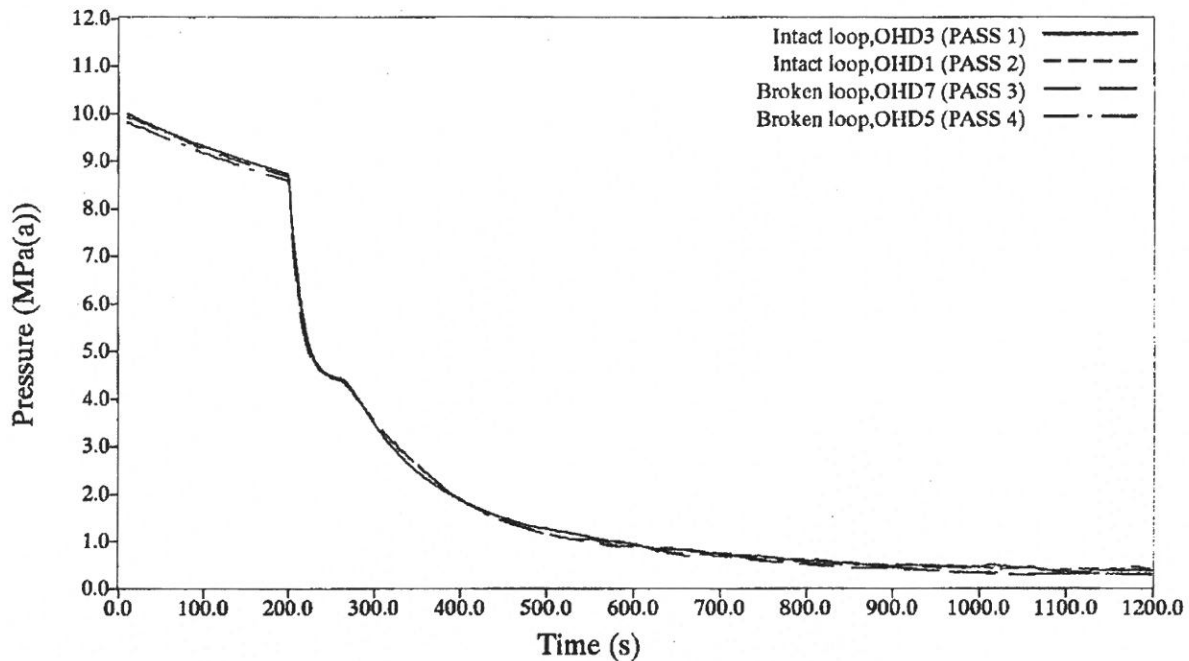
본 문서는 한국수력원자력(주)이 정보 공개용으로 작성한 문서입니다.



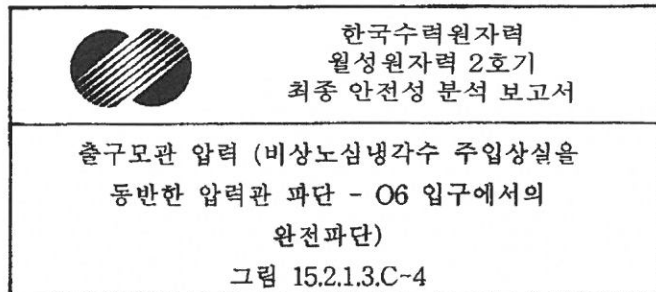
4ddf66e6-bba911081416



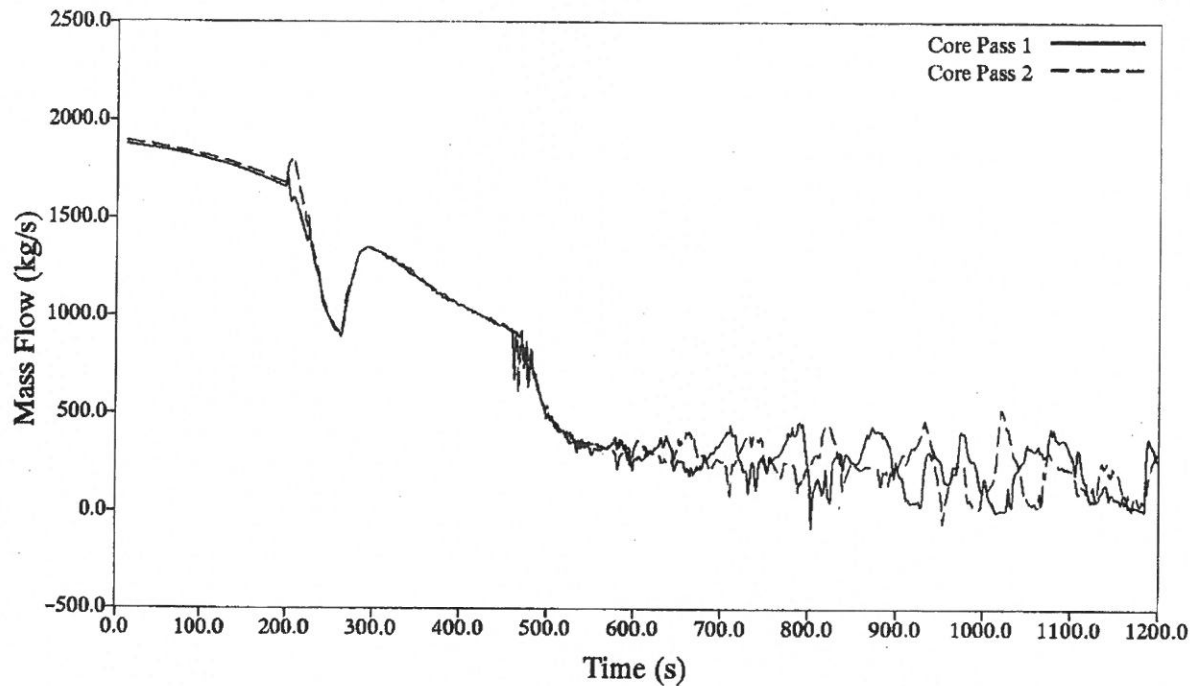
본 문서는 한국수력원자력(주)이 정보 공개용으로 작성한 문서입니다.



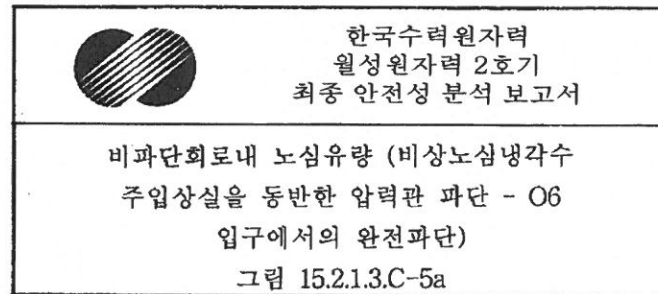
4ddf66e6-bba911081416



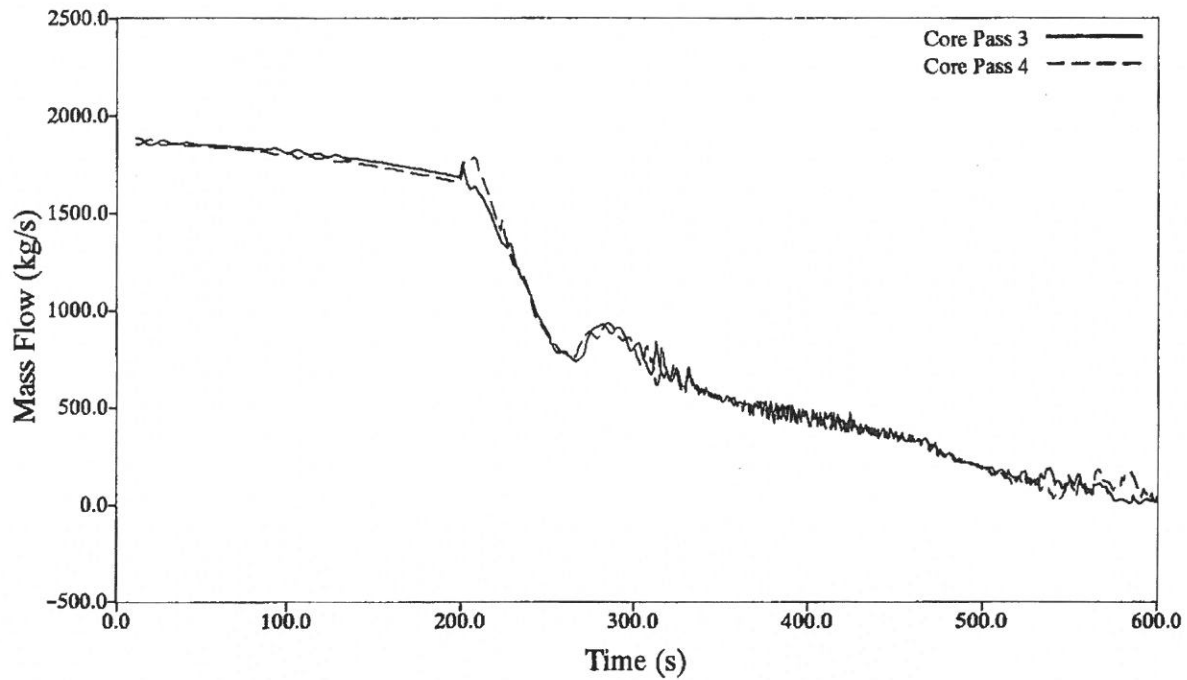
본 문서는 한국수력원자력(주)이 정보 공개용으로 작성한 문서입니다.



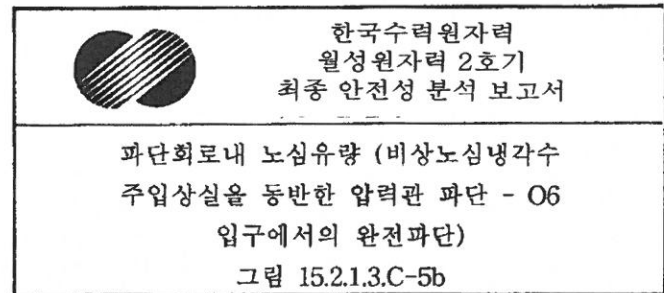
4ddfb6e6-bba911081416



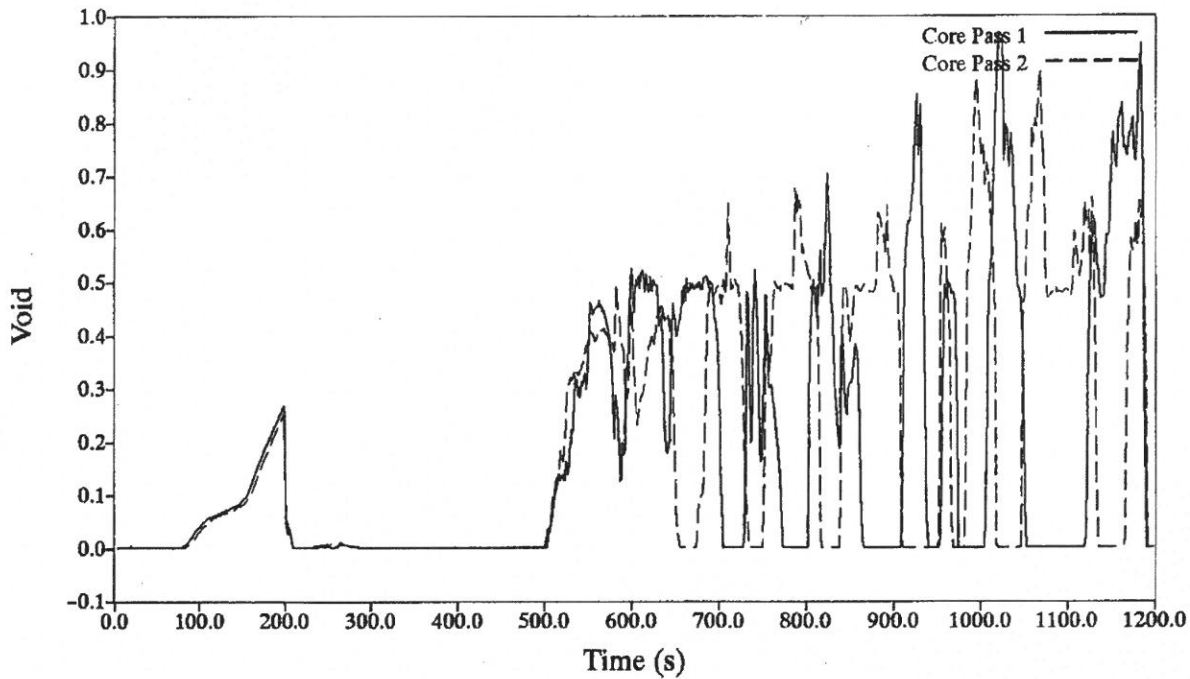
본 문서는 한국수력원자력(주)이 정보 공개용으로 작성한 문서입니다.



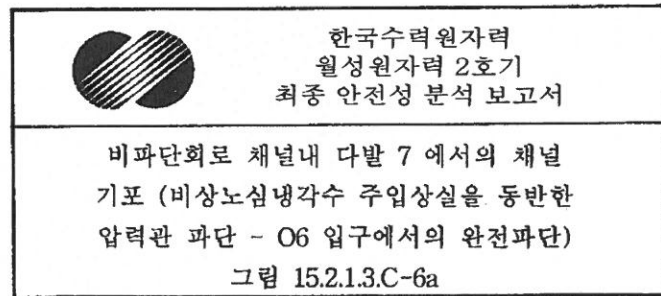
4ddf66e6-bba911081416



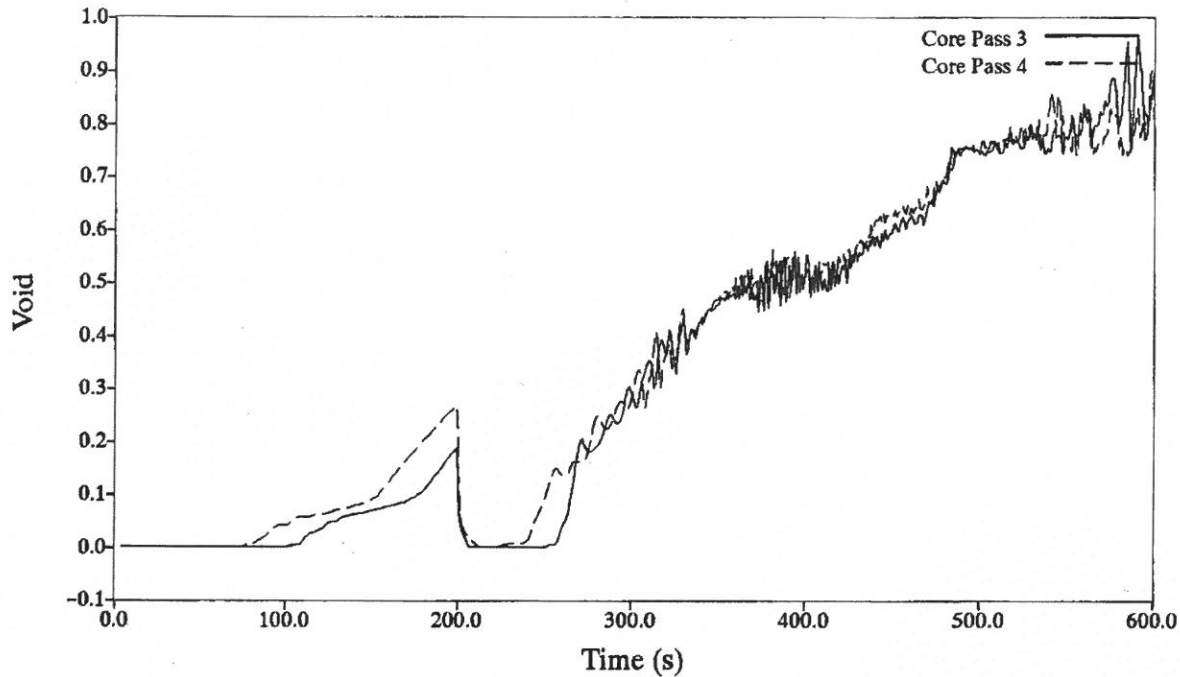
본 문서는 한국수력원자력(주)이 정보 공개용으로 작성한 문서입니다.



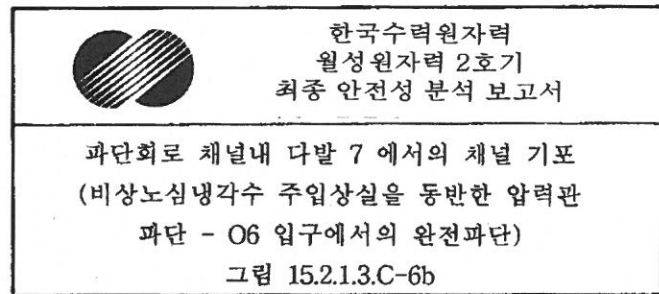
4ddf66e6-bba911081416



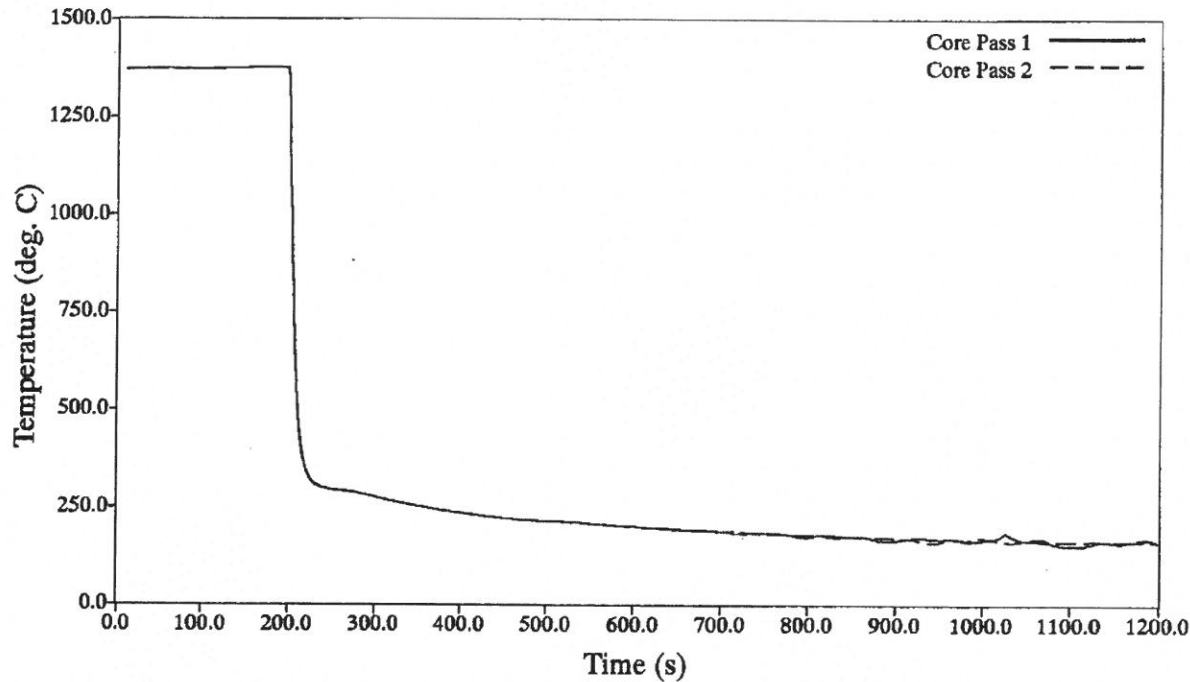
본 문서는 한국수력원자력(주)이 정보 공개용으로 작성한 문서입니다.



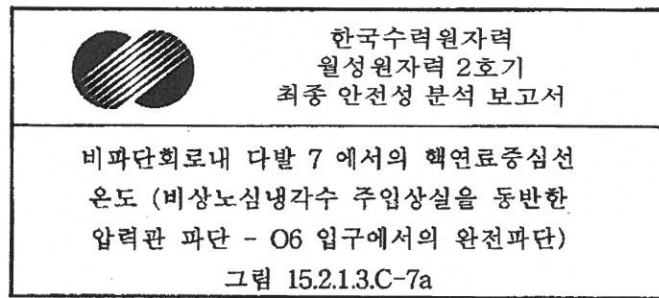
4ddf66e6-bba911081416



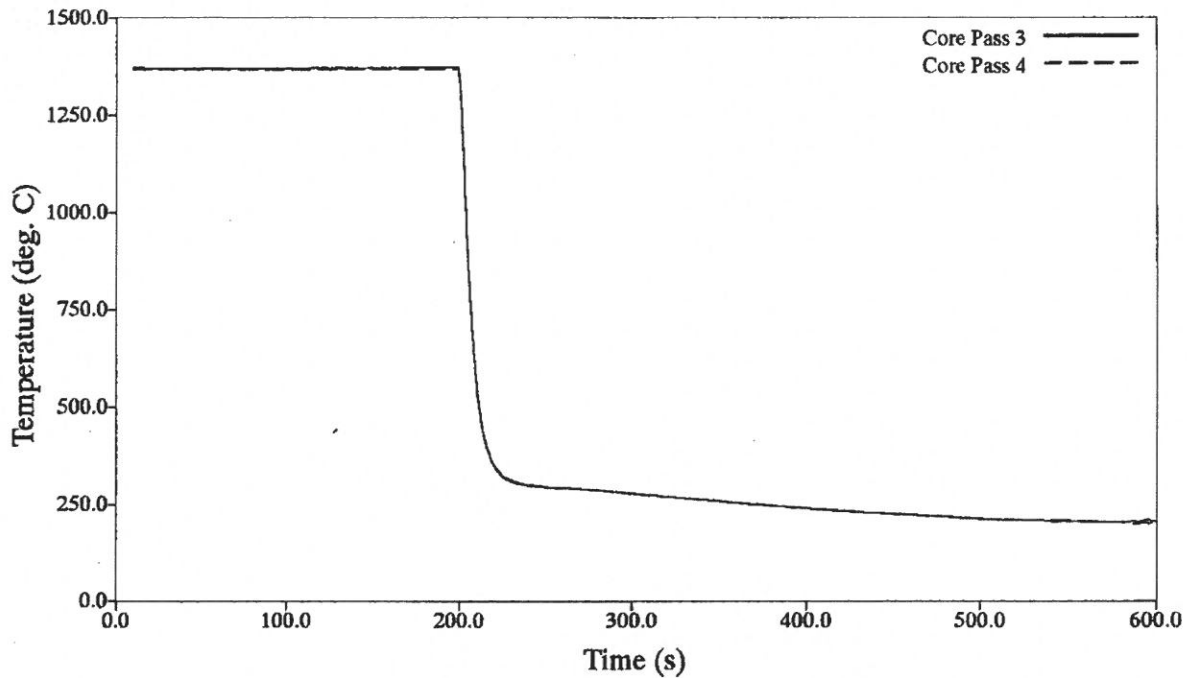
본 문서는 한국수력원자력(주)이 정보 공개용으로 작성한 문서입니다.



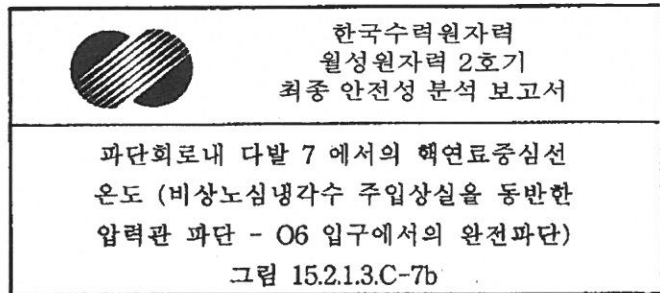
4ddf66e6-bba911081416



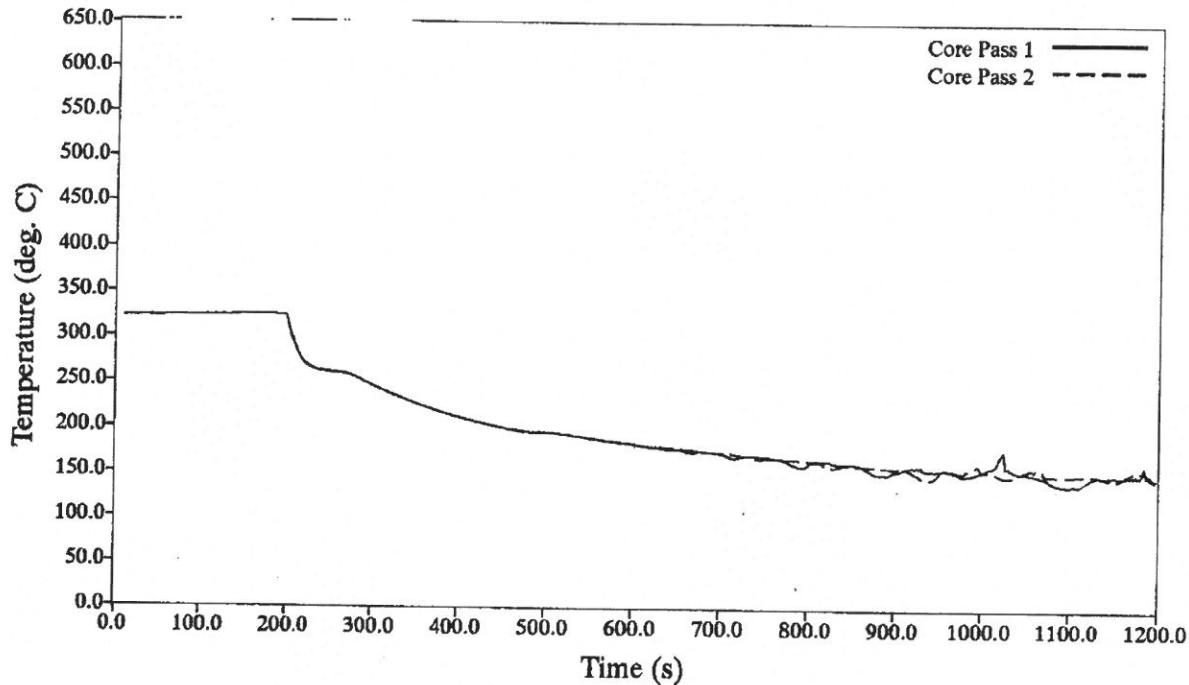
본 문서는 한국수력원자력(주)이 정보 공개용으로 작성한 문서입니다.



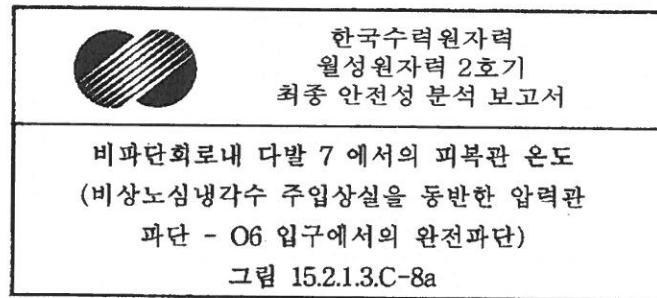
4ddf66e6-bba911081416



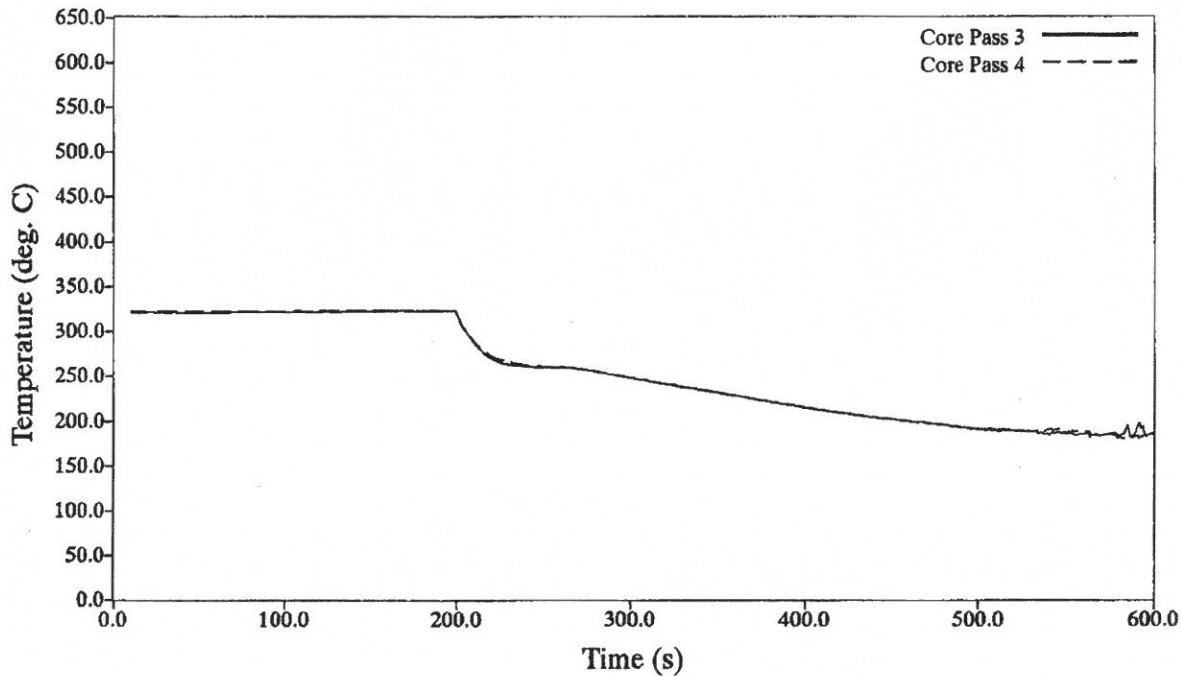
본 문서는 한국수력원자력(주)이 정보 공개용으로 작성한 문서입니다.



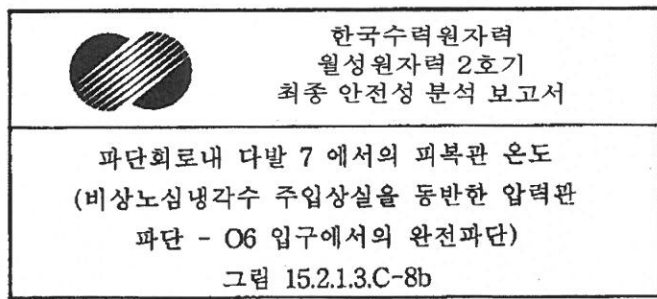
4ddf66e6-bba911081416



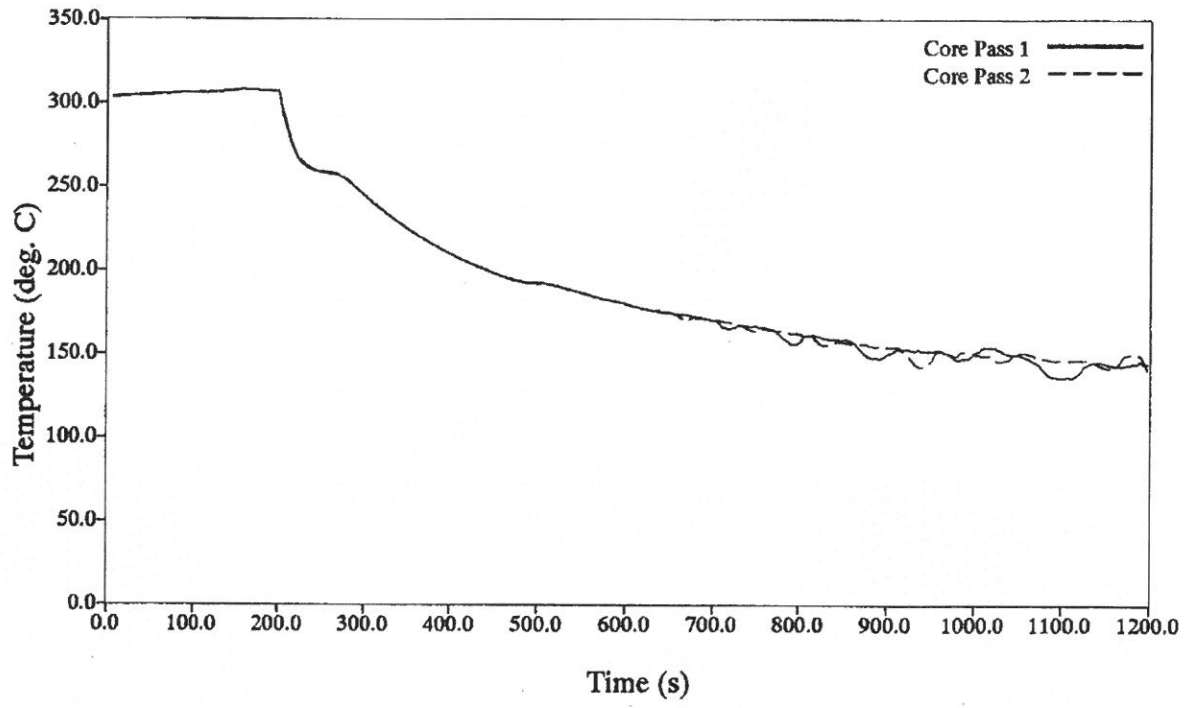
본 문서는 한국수력원자력(주)이 정보 공개용으로 작성한 문서입니다.



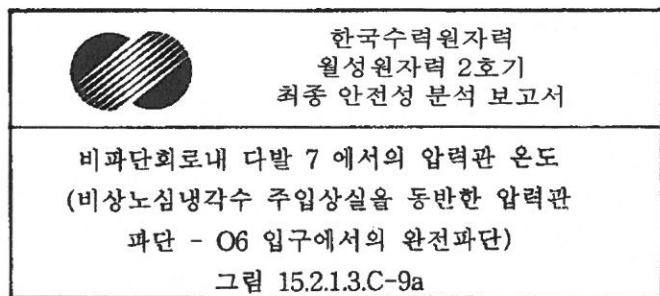
4ddf66e6-bba911081416



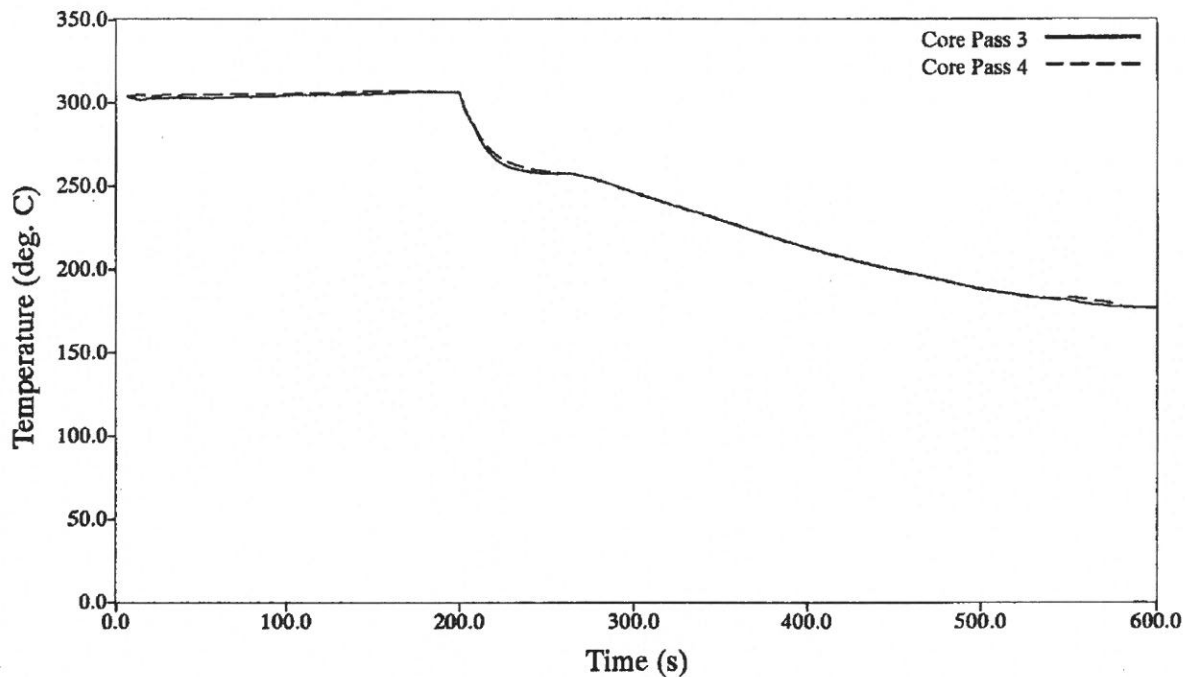
본 문서는 한국수력원자력(주)이 정보 공개용으로 작성한 문서입니다.



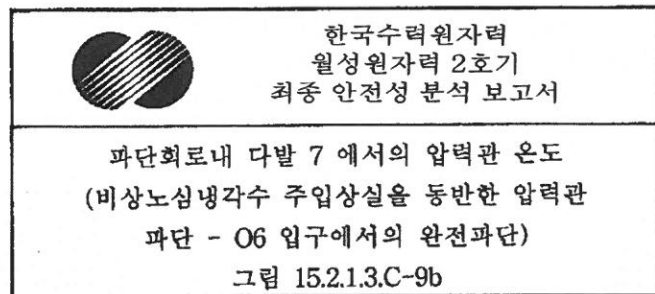
4dd166e6-bba911081416



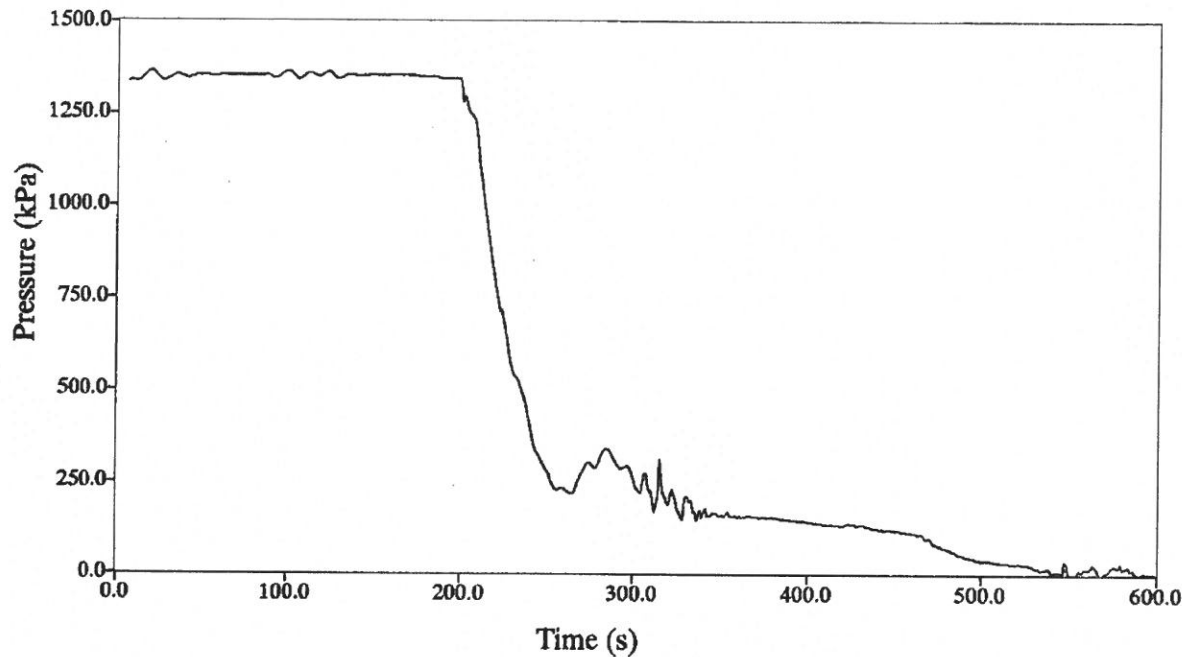
본 문서는 한국수력원자력(주)이 정보 공개용으로 작성한 문서입니다.



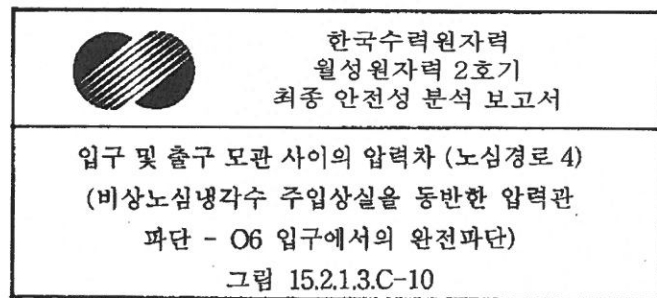
4ddf66e6-bba911081416



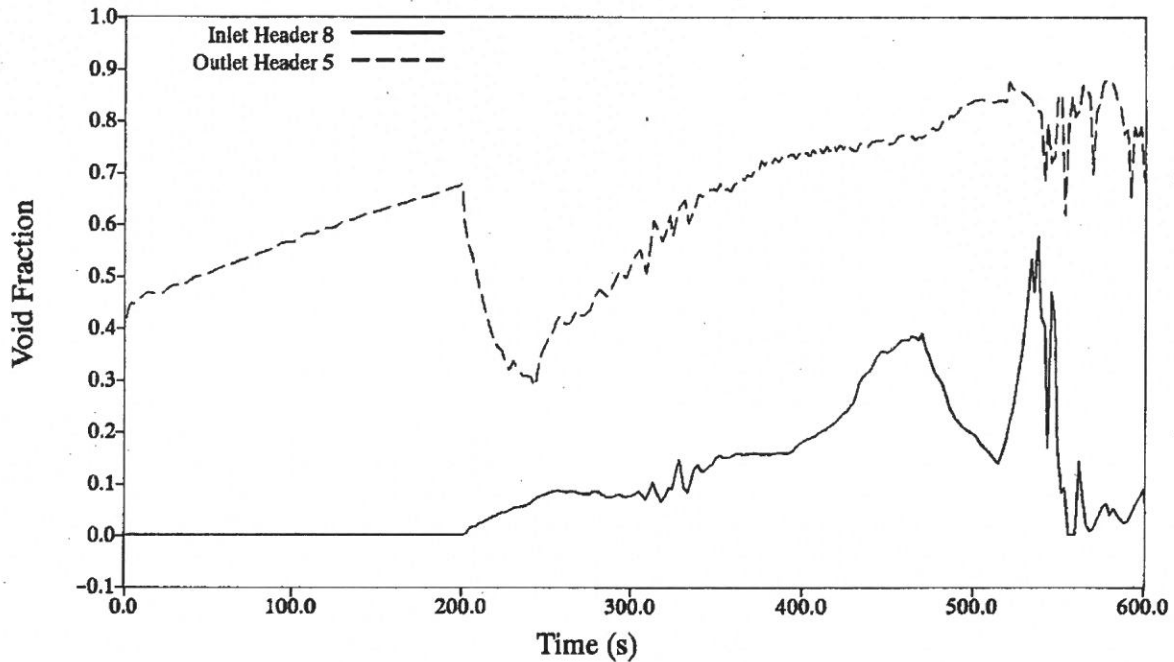
본 문서는 한국수력원자력(주)이 정보 공개용으로 작성한 문서입니다.



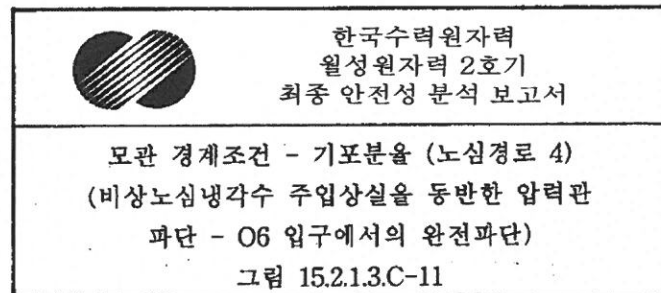
4dddf66e6-bba911081416



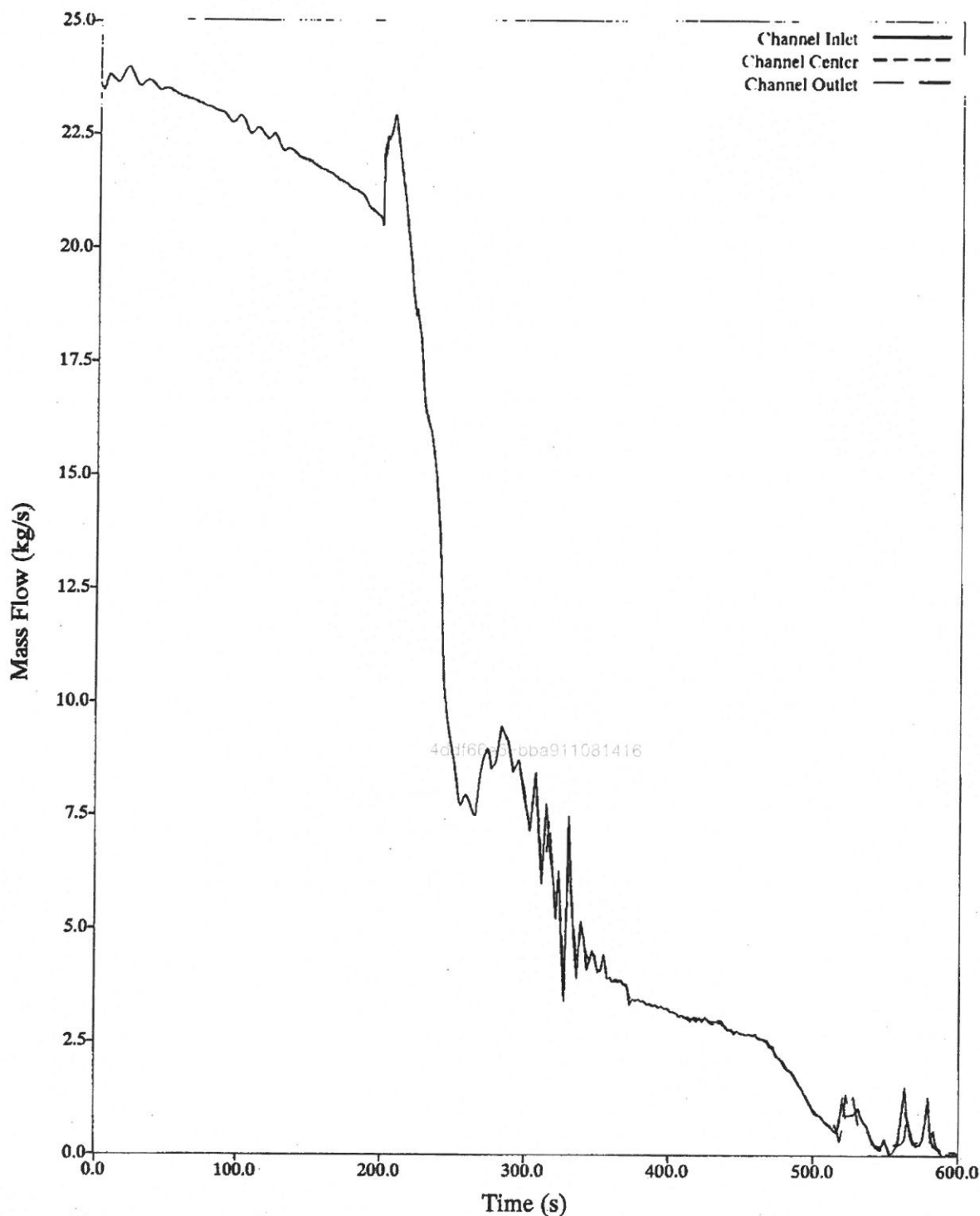
본 문서는 한국수력원자력(주)이 정보 공개용으로 작성한 문서입니다.



4ddf66e6-bba911081416



본 문서는 한국수력원자력(주)이 정보 공개용으로 작성한 문서입니다.

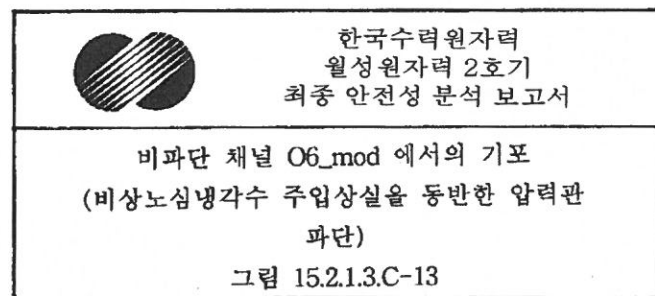
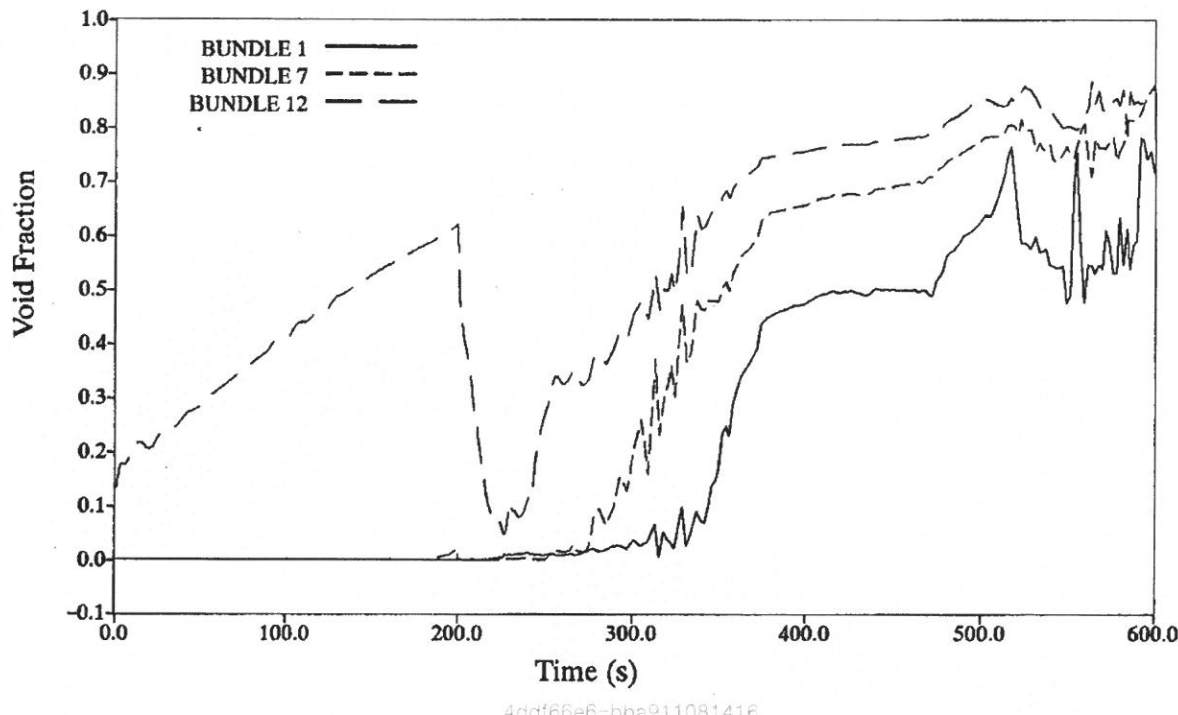


한국수력원자력
월성원자력 2호기
최종 안전성 분석 보고서

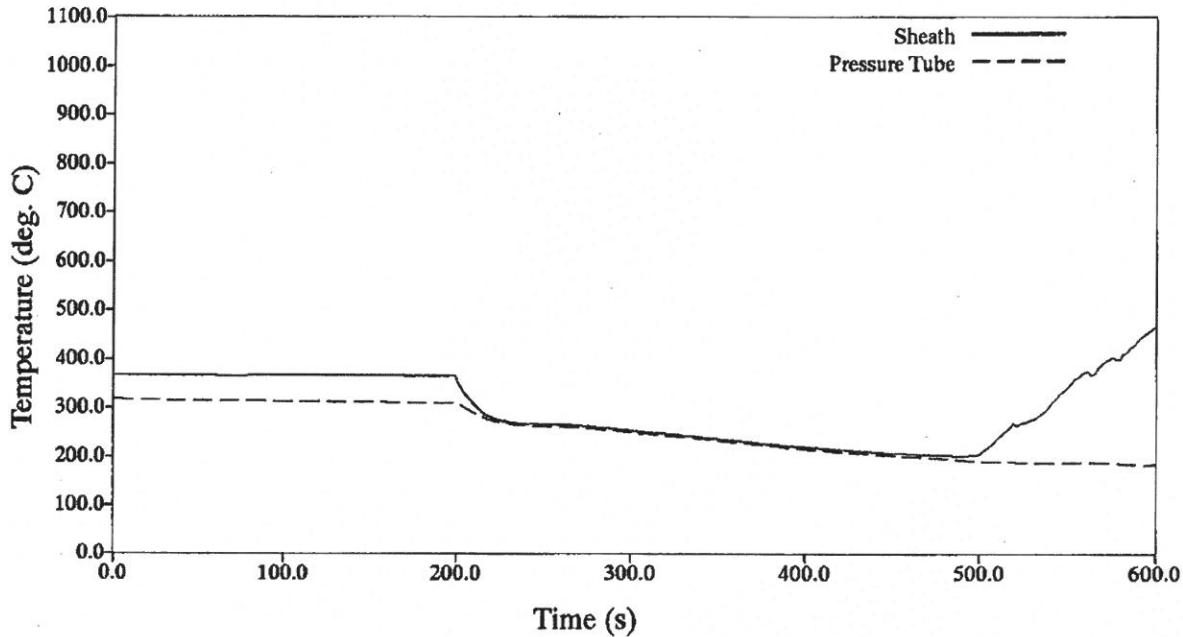
비파단 채널 O6_mod 에서의 유량
(비상노심냉각수 주입상실을 동반한 압력관
파단)

그림 15.2.1.3.C-12

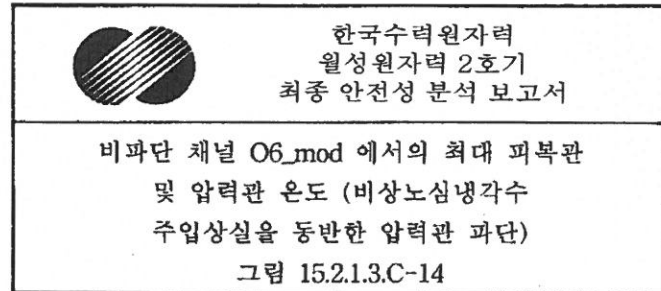
본 문서는 한국수력원자력(주)이 정보 공개용으로 작성한 문서입니다.



본 문서는 한국수력원자력(주)이 정보 공개용으로 작성한 문서입니다.



4dd166e6-bba911081416



본 문서는 한국수력원자력(주)이 정보 공개용으로 작성한 문서입니다.

4ddf66e6-bba911081416



한국수력원자력
월성원자력 2호기
최종 안전성 분석 보고서

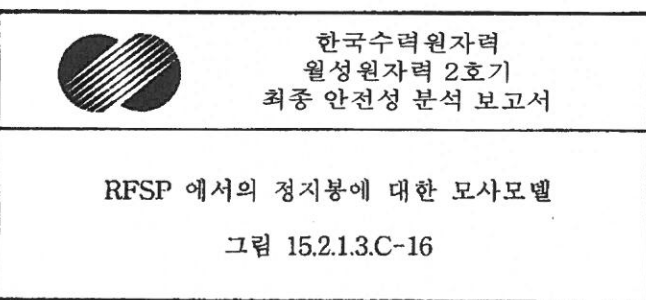
반응도장치 배치도

그림 15.2.1.3.C-15

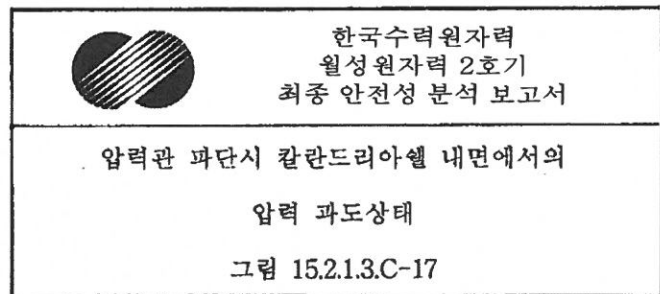
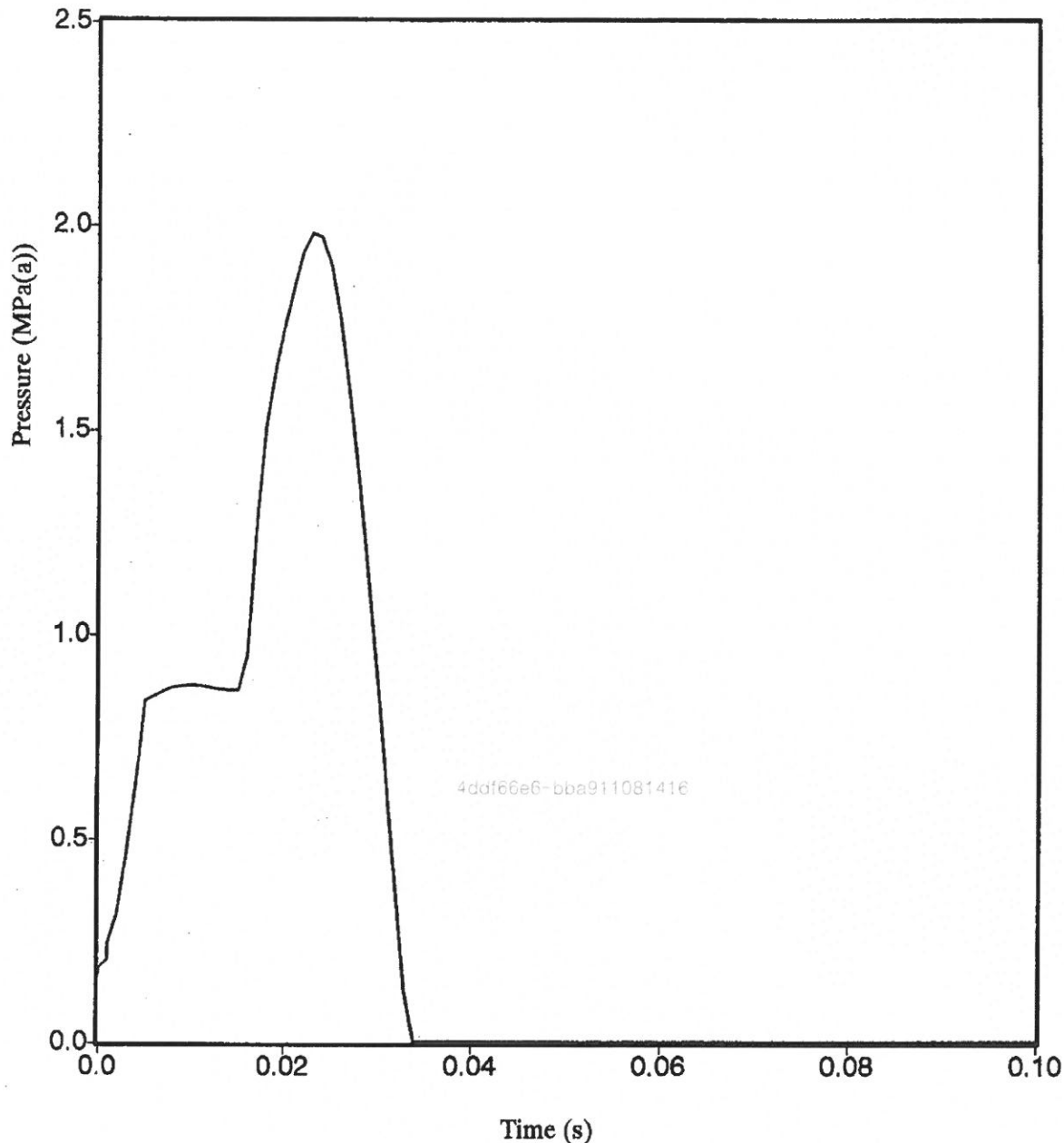


본 문서는 한국수력원자력(주)이 정보 공개용으로 작성한 문서입니다.

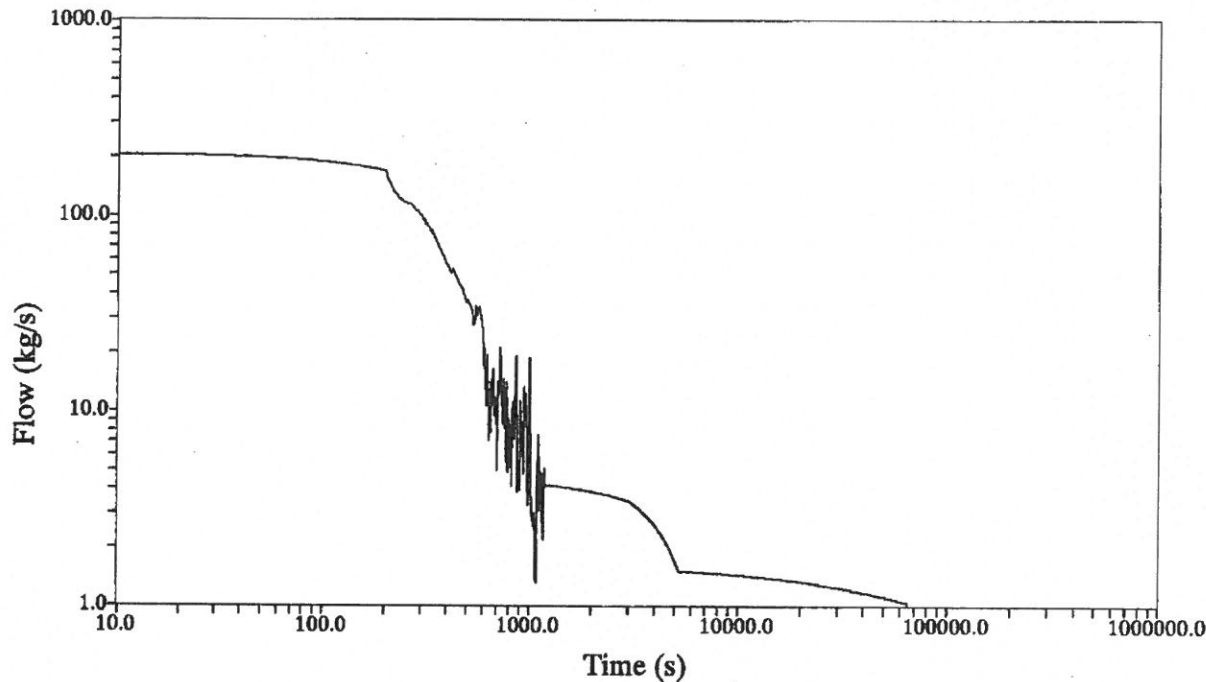
4addf66e6-bba911081416



본 문서는 한국수력원자력(주)이 정보 공개용으로 작성한 문서입니다.



본 문서는 한국수력원자력(주)이 정보 공개용으로 작성한 문서입니다.



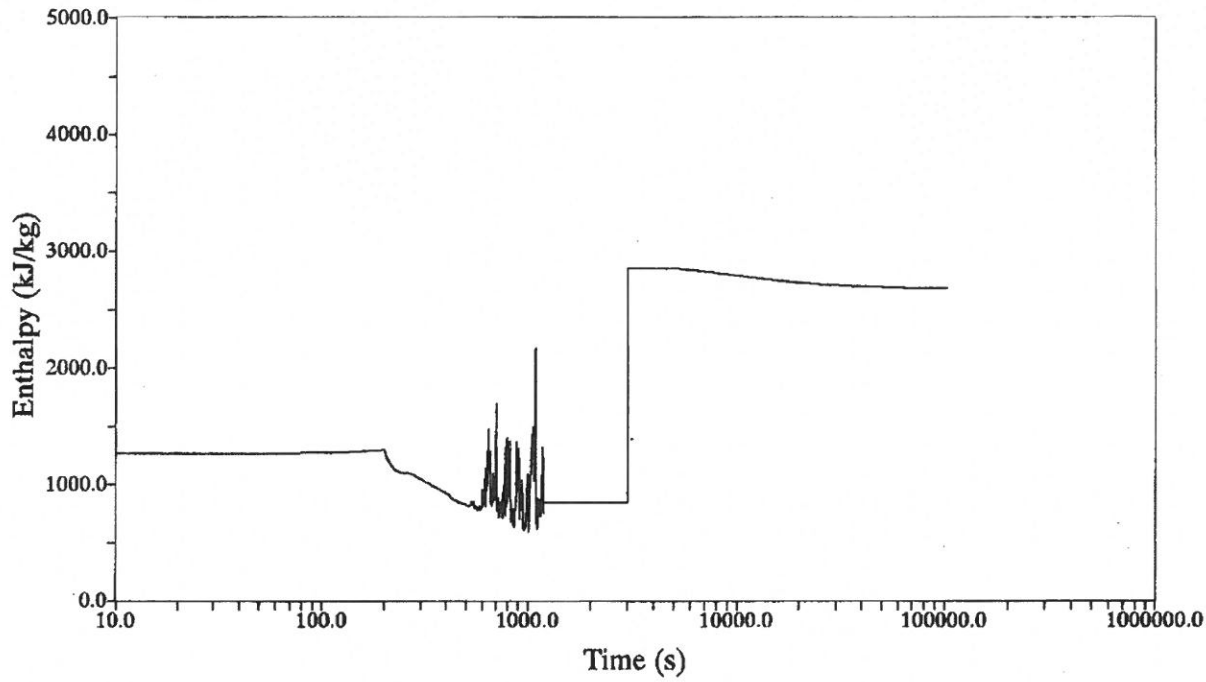
4ddff66e6-bba911081416

한국수력원자력
월성원자력 2호기
최종 안전성 분석 보고서

감속재로의 냉각재계통 질량 방출을
(비상노심냉각수 주입상실을 동반한 채널
O6_mod에서의 압력관 파단)

그림 15.2.1.3.C-18

본 문서는 한국수력원자력(주)이 정보 공개용으로 작성한 문서입니다.



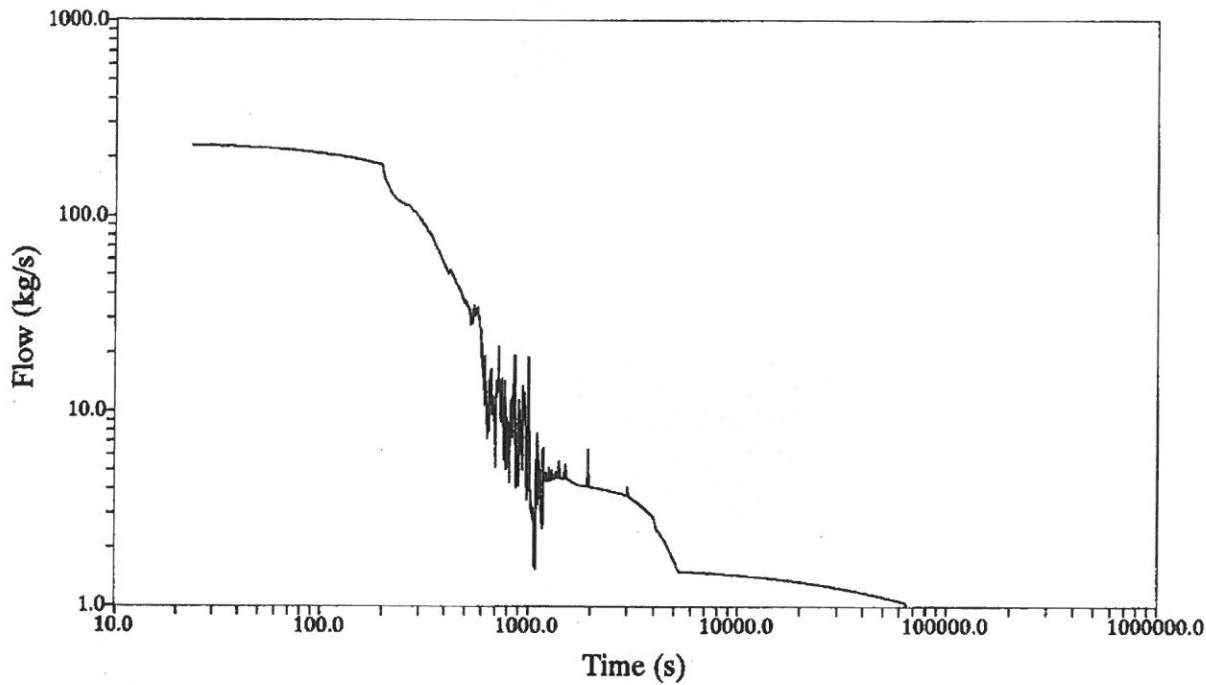
4ddf66e6-bba911081416



한국수력원자력
월성원자력 2호기
최종 안전성 분석 보고서

감속제로의 냉각재계통 엔탈피 방출
(비상노심냉각수 주입상실을 동반한 채널
O6_mod에서의 압력관 파단)
그림 15.2.1.3.C-19

본 문서는 한국수력원자력(주)이 정보 공개용으로 작성한 문서입니다.



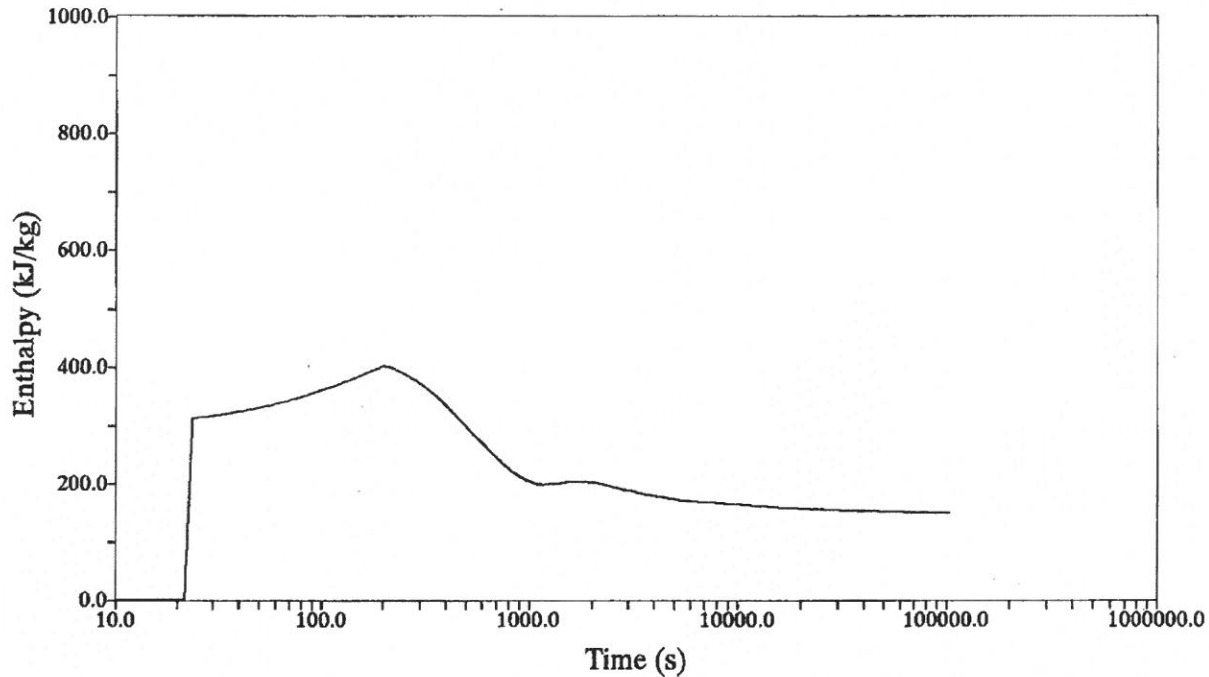
4ddf66e6-bba911081416

한국수력원자력
월성원자력 2호기
최종 안전성 분석 보고서

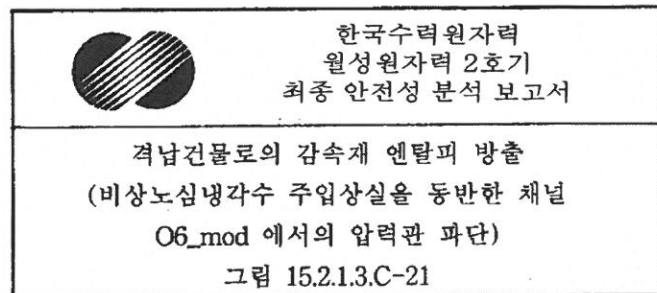
격납건물로의 감속재 질량 방출을
(비상노심냉각수 주입상실을 동반한 채널
O6_mod 에서의 압력관 파단)
그림 15.2.1.3.C-20



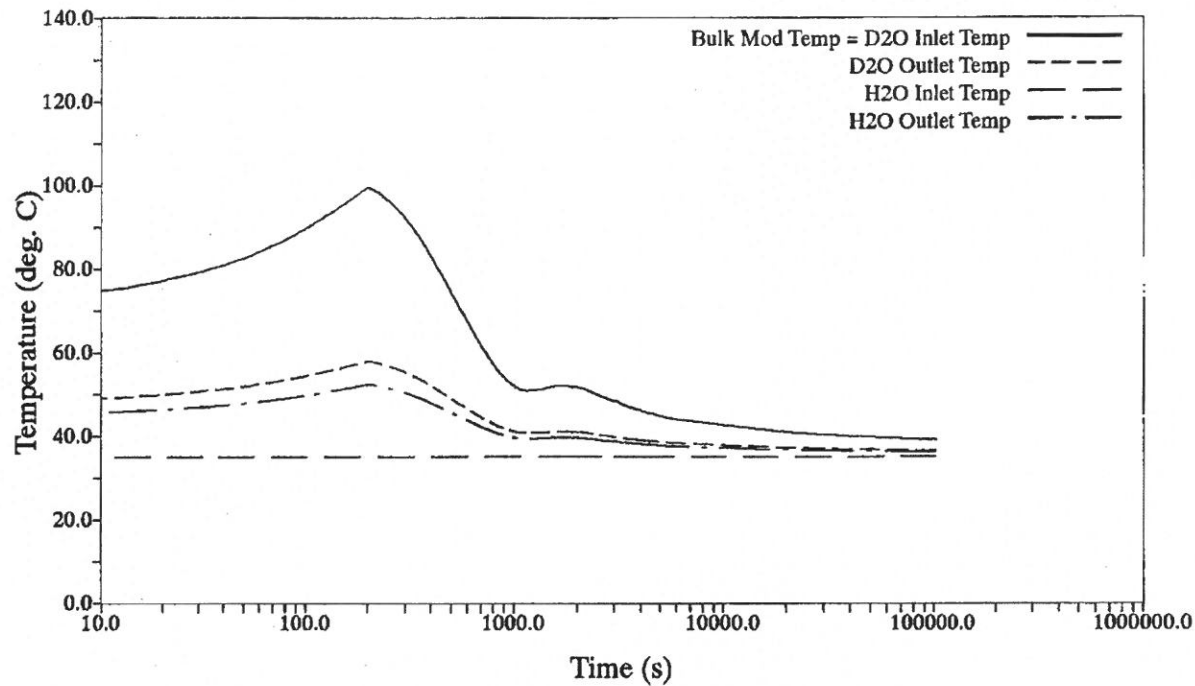
본 문서는 한국수력원자력(주)이 정보 공개용으로 작성한 문서입니다.



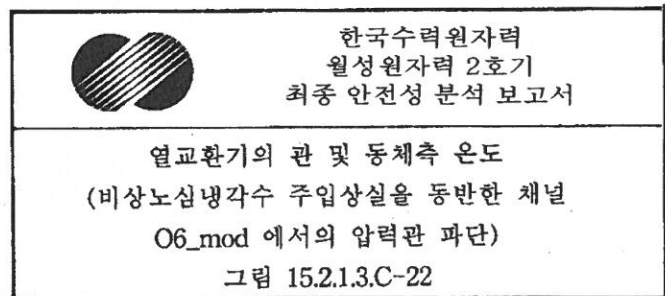
4ddf66e6-bba911081416



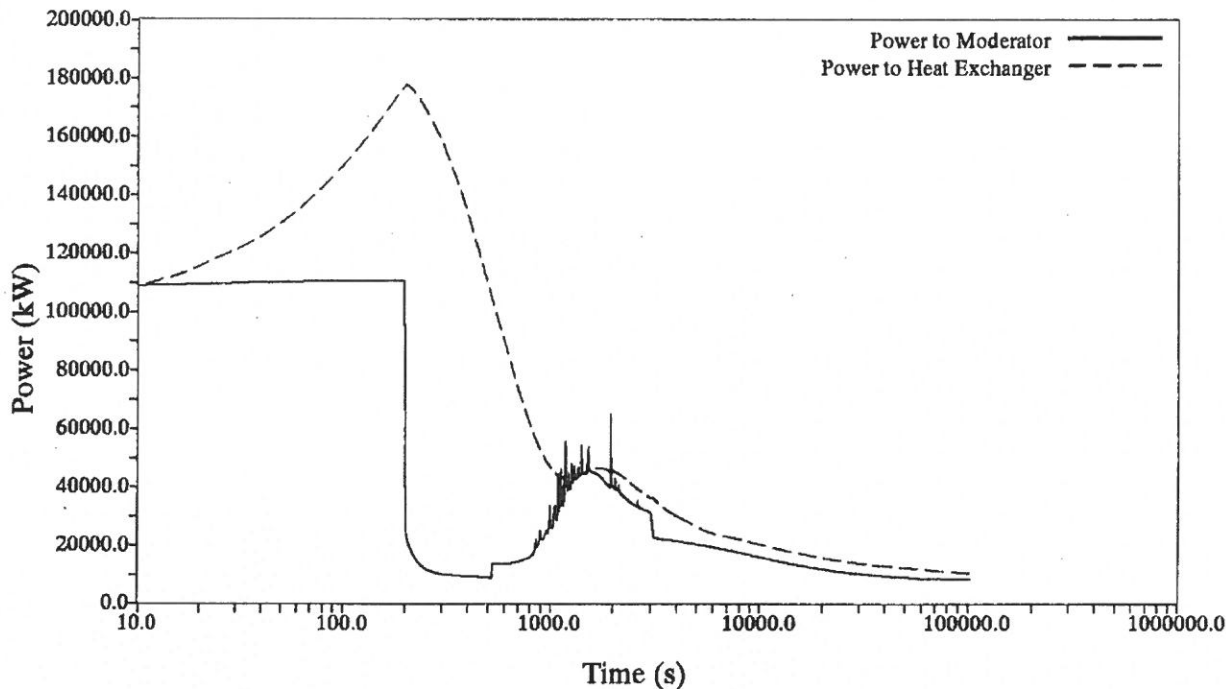
본 문서는 한국수력원자력(주)이 정보 공개용으로 작성한 문서입니다.



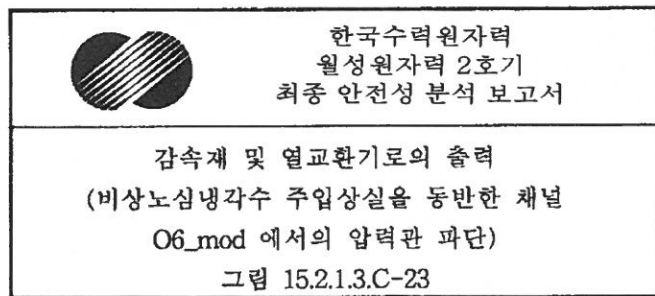
4ddf66e6-bba911081416



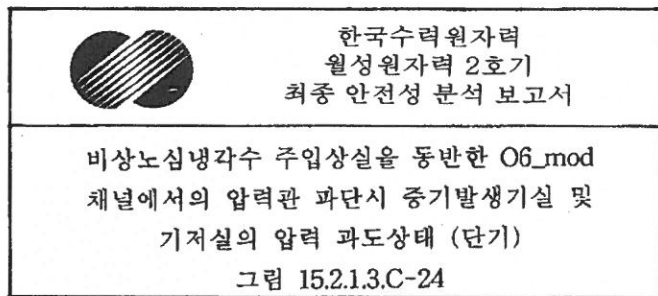
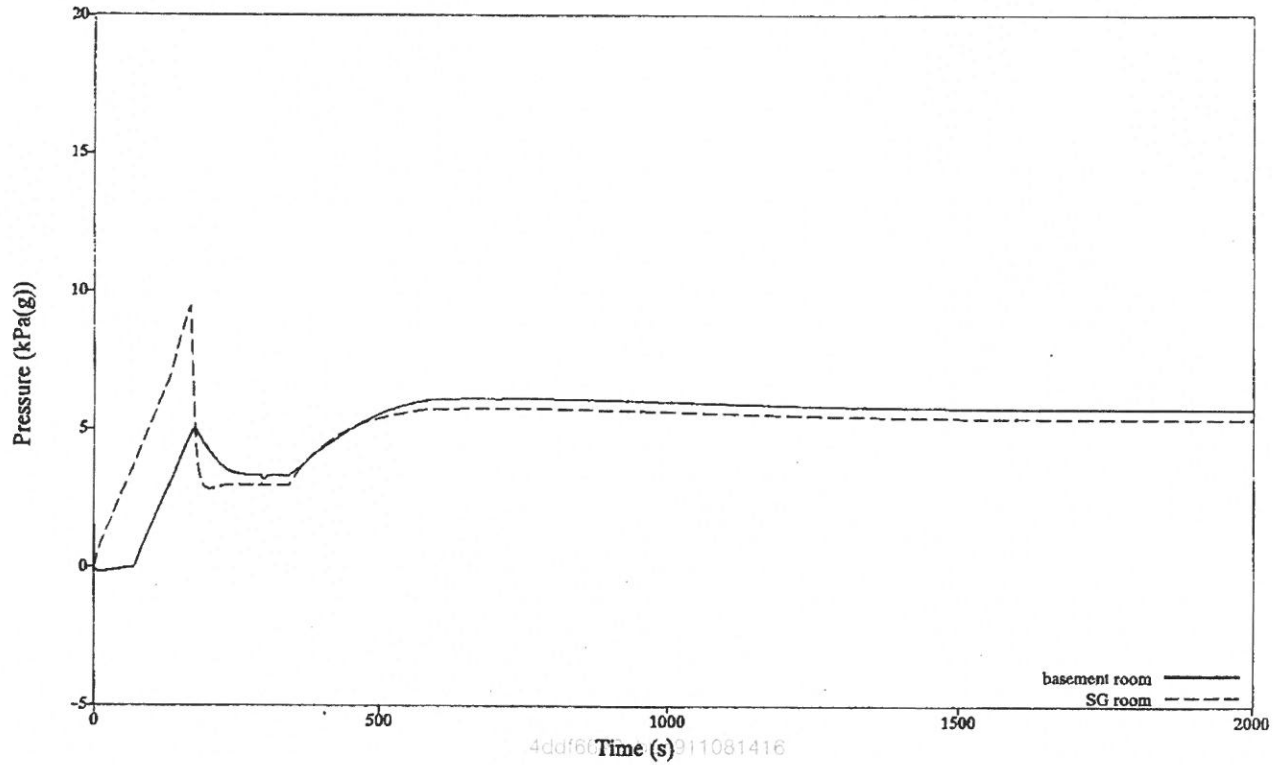
본 문서는 한국수력원자력(주)이 정보 공개용으로 작성한 문서입니다.



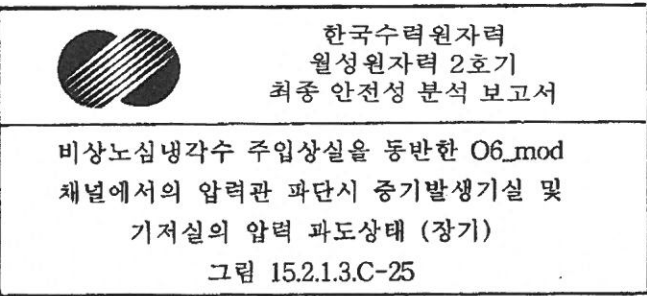
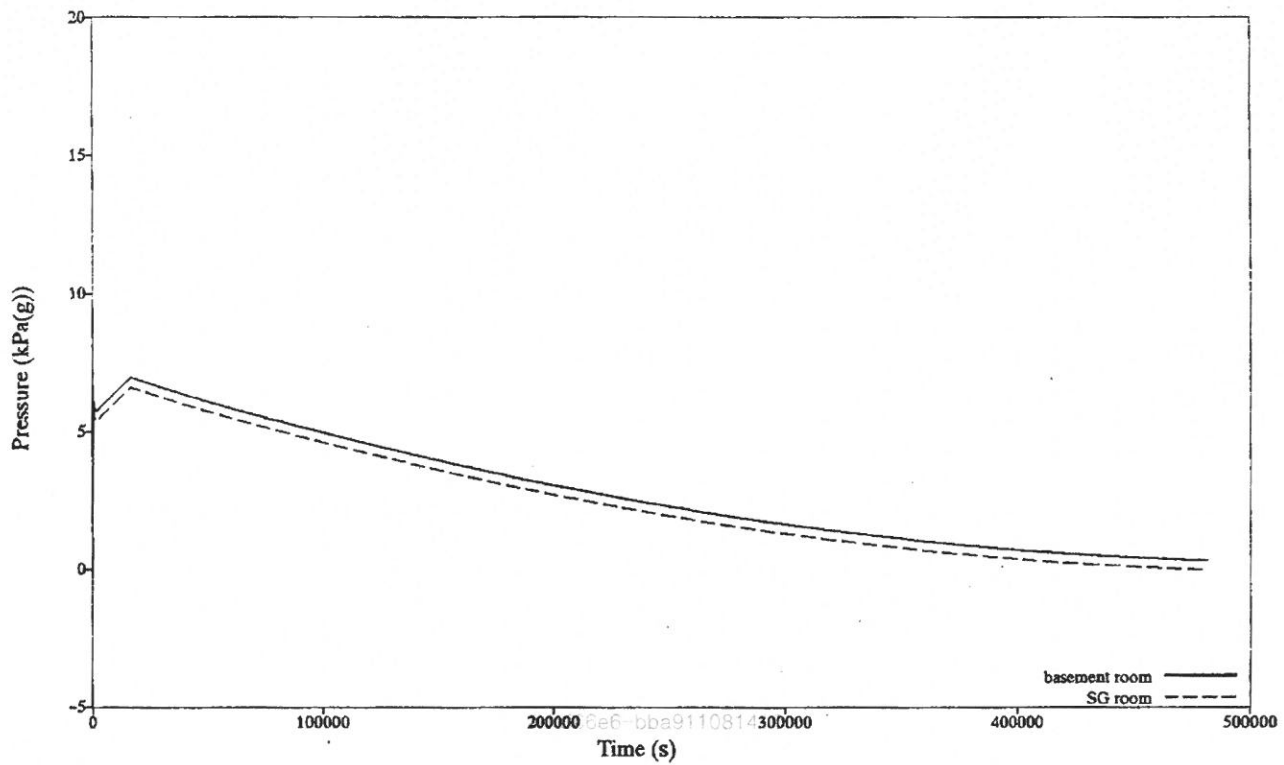
4ddf66e6-bba911081416



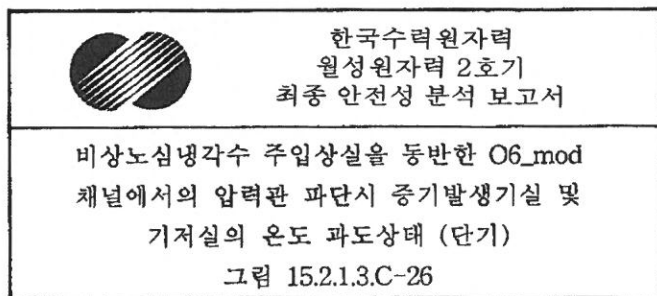
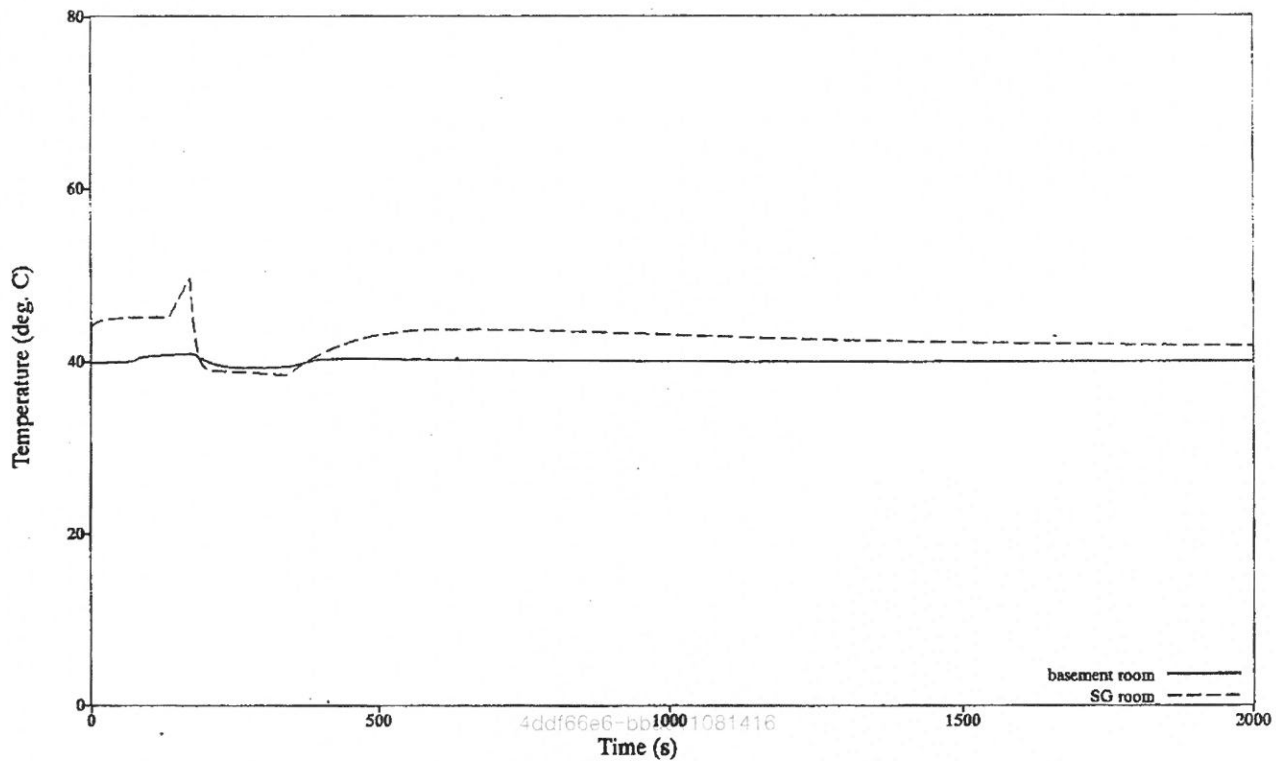
본 문서는 한국수력원자력(주)이 정보 공개용으로 작성한 문서입니다.



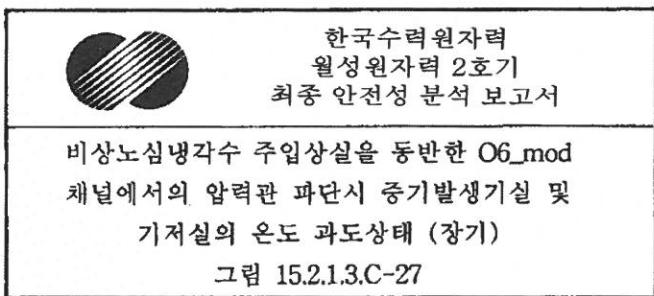
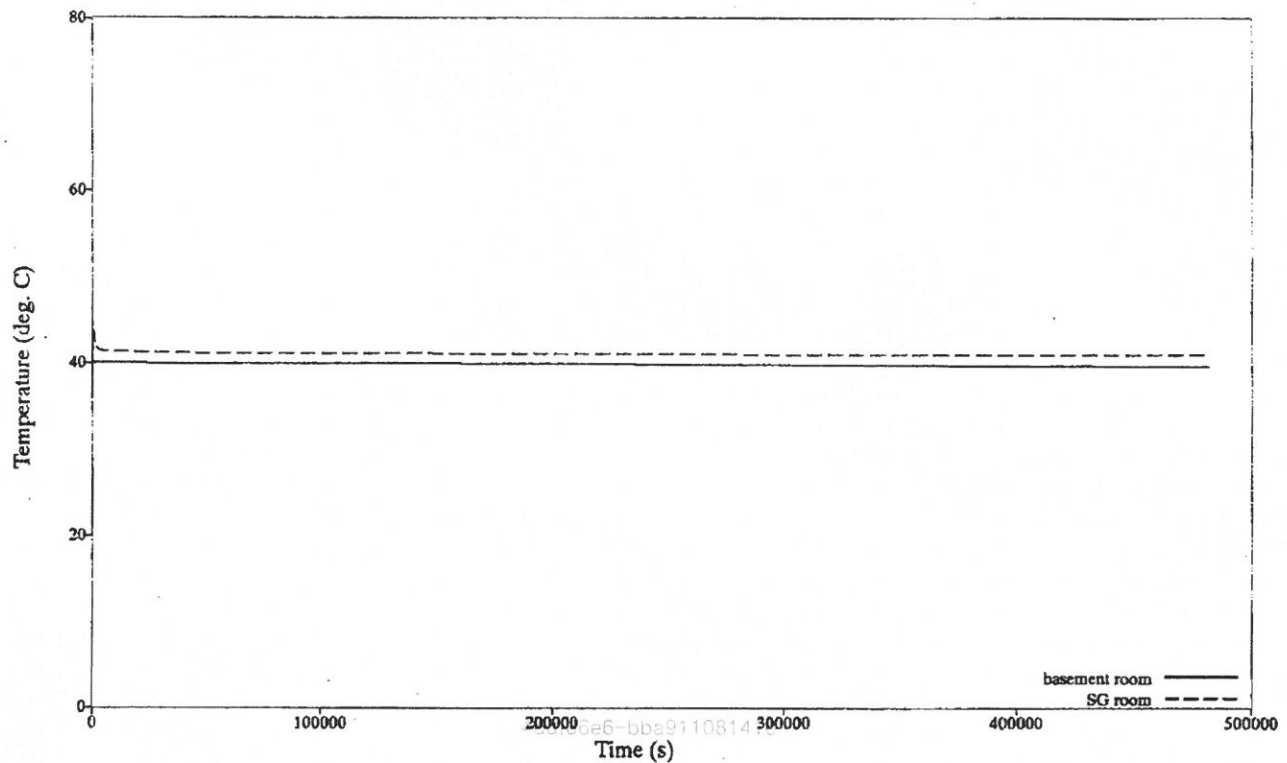
본 문서는 한국수력원자력(주)이 정보 공개용으로 작성한 문서입니다.



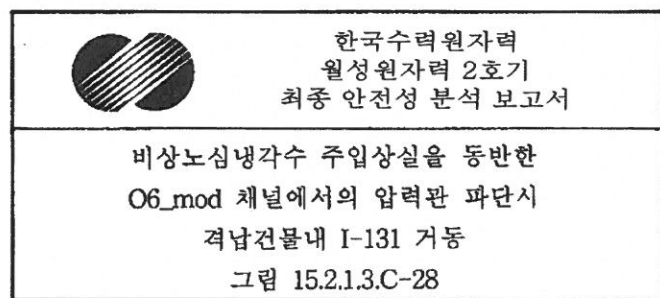
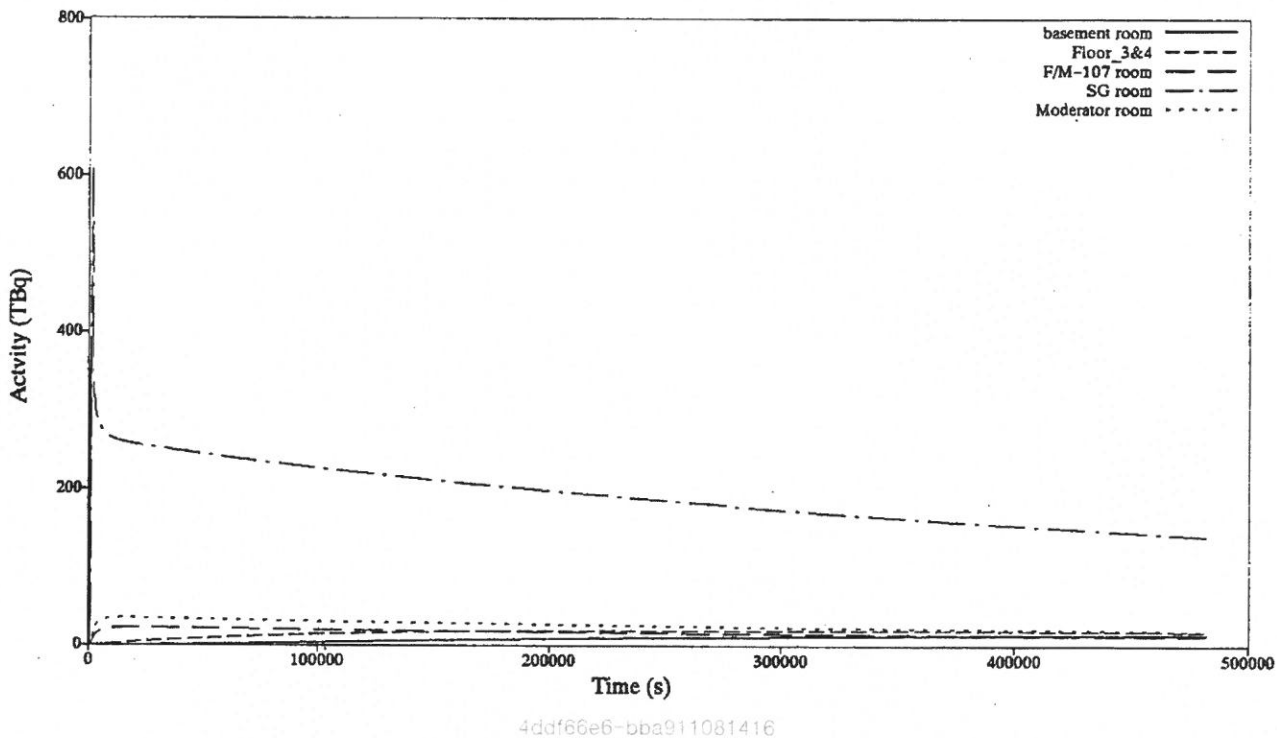
본 문서는 한국수력원자력(주)이 정보 공개용으로 작성한 문서입니다.



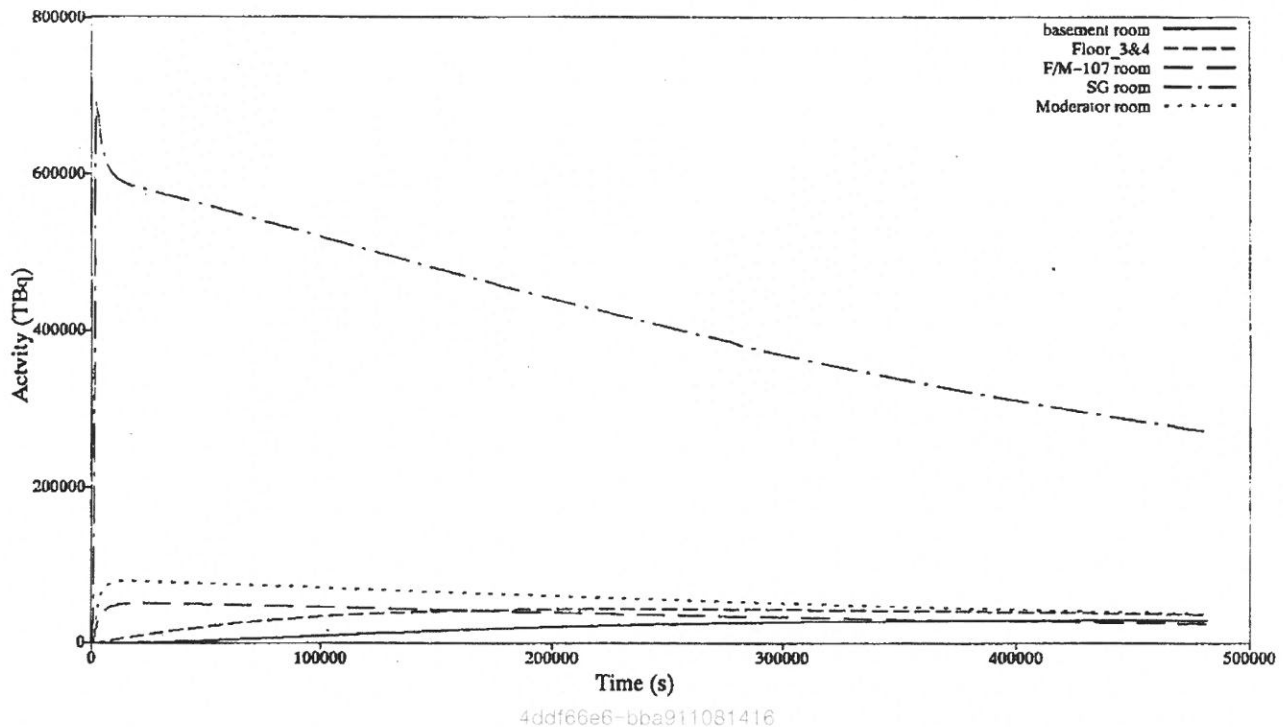
본 문서는 한국수력원자력(주)이 정보 공개용으로 작성한 문서입니다.



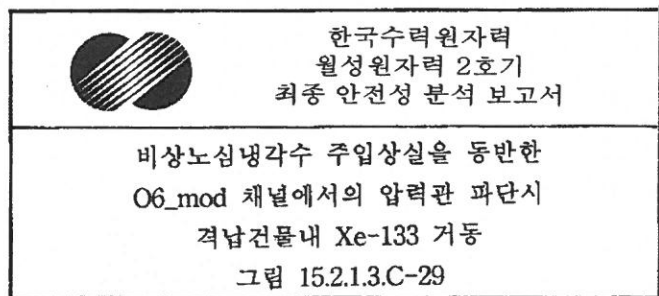
본 문서는 한국수력원자력(주)이 정보 공개용으로 작성한 문서입니다.



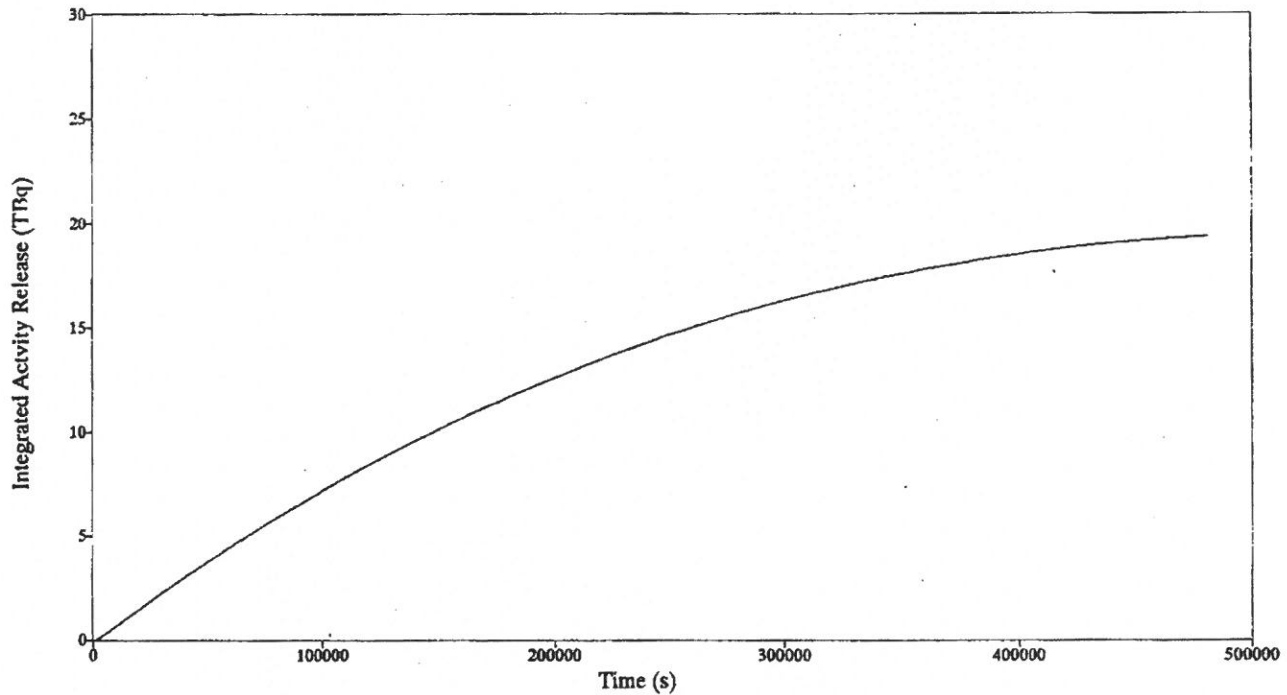
본 문서는 한국수력원자력(주)이 정보 공개용으로 작성한 문서입니다.



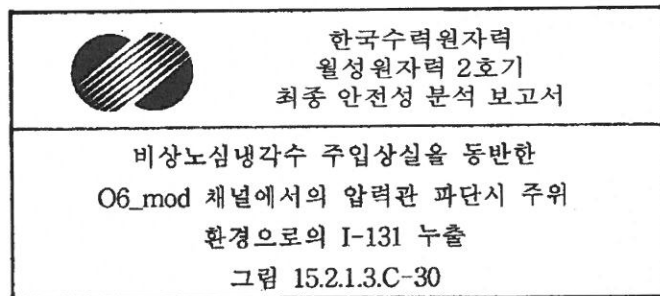
4ddf66e6-bba911081416



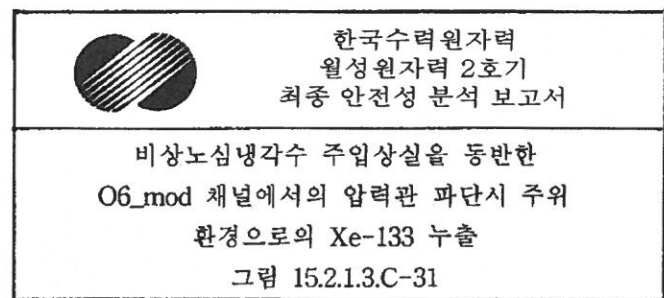
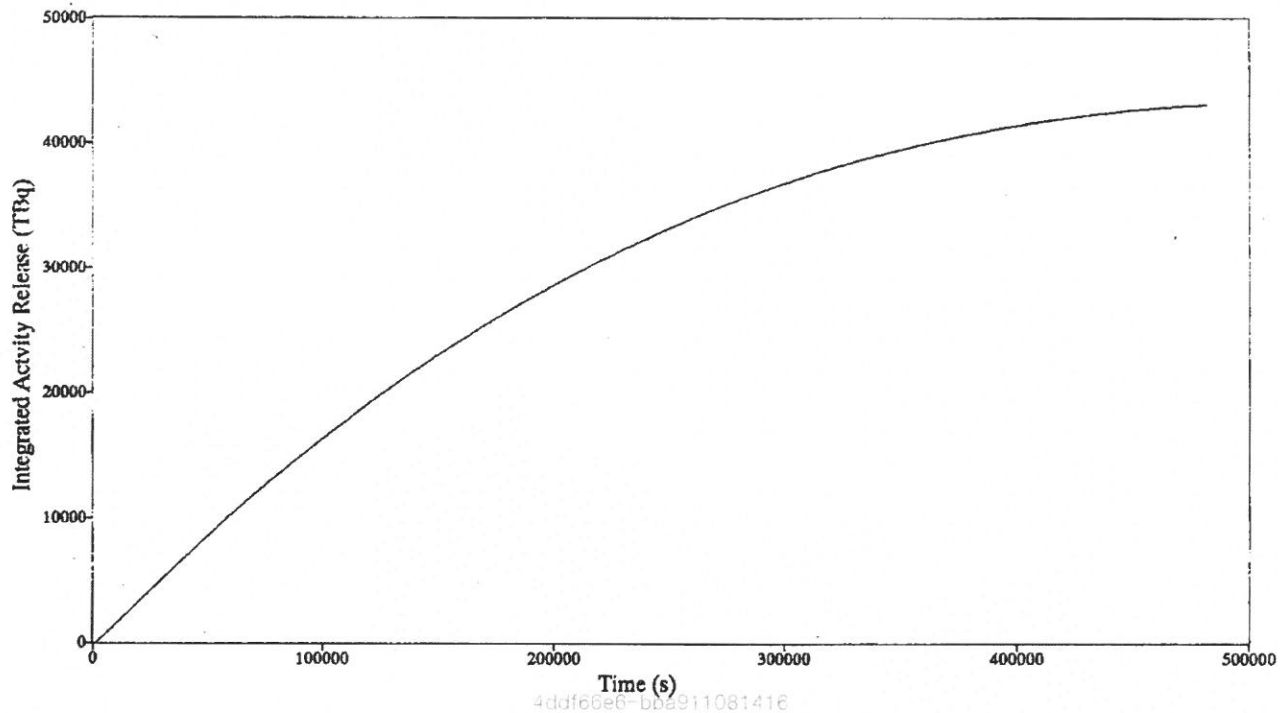
본 문서는 한국수력원자력(주)이 정보 공개용으로 작성한 문서입니다.



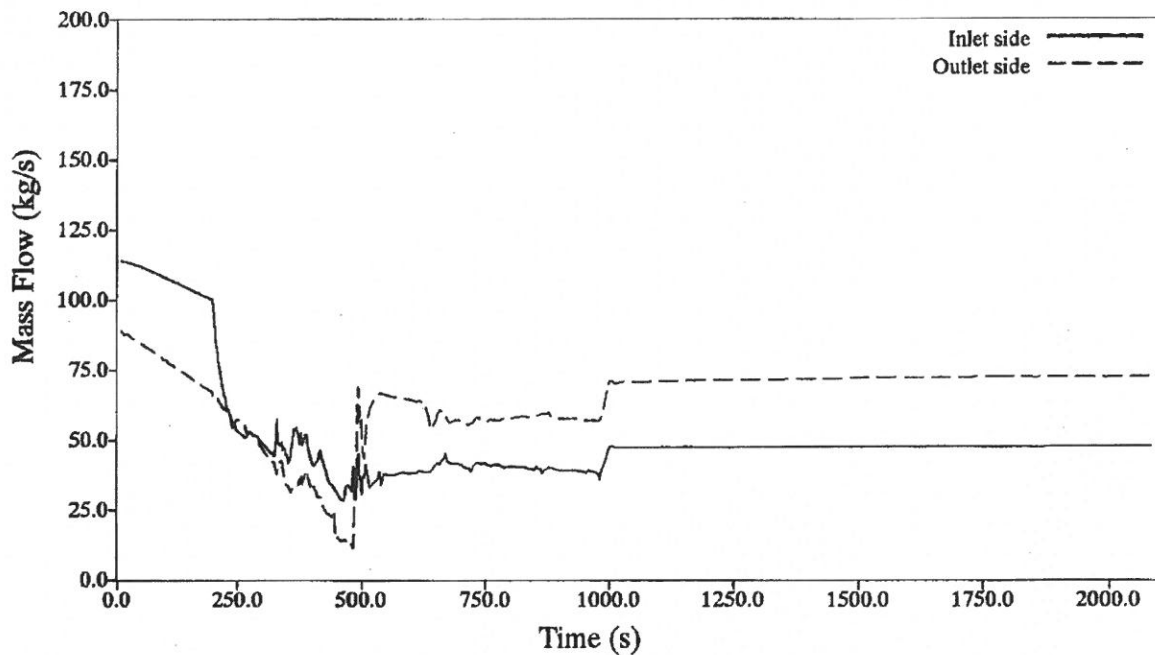
4ddf66e6-bba911081416



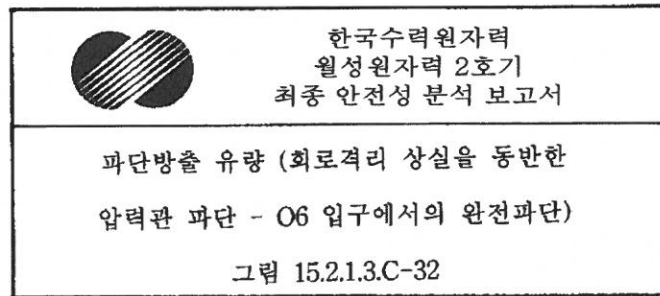
본 문서는 한국수력원자력(주)이 정보 공개용으로 작성한 문서입니다.



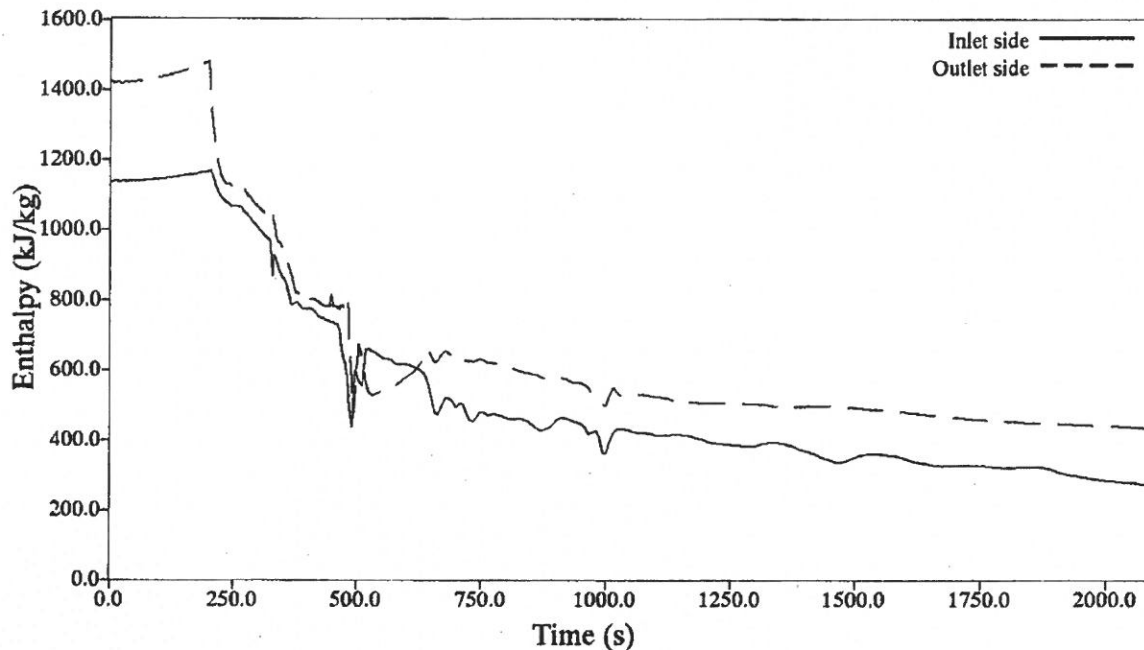
본 문서는 한국수력원자력(주)이 정보 공개용으로 작성한 문서입니다.



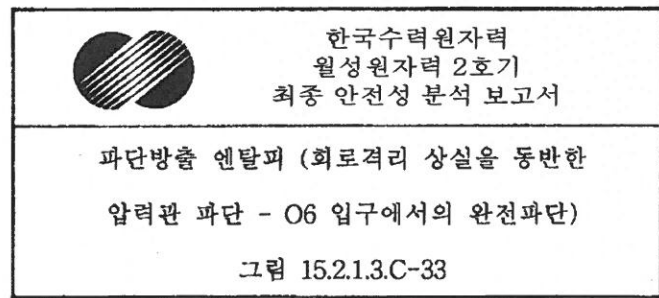
4ddf66e6-bba911081416



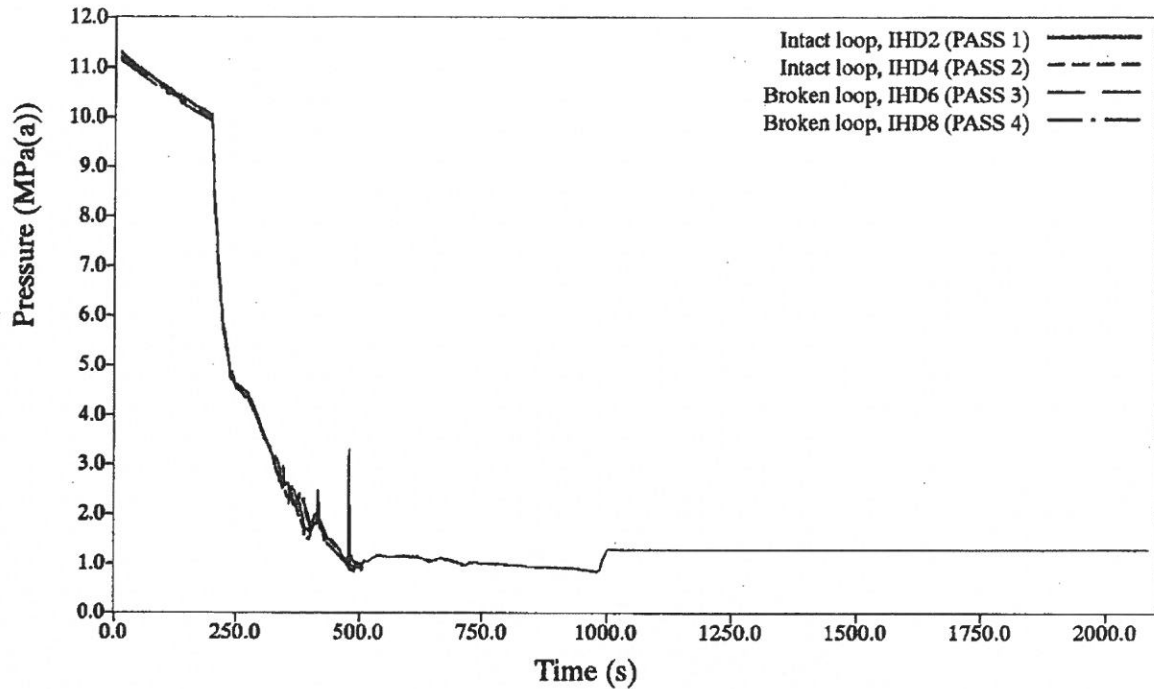
본 문서는 한국수력원자력(주)이 정보 공개용으로 작성한 문서입니다.



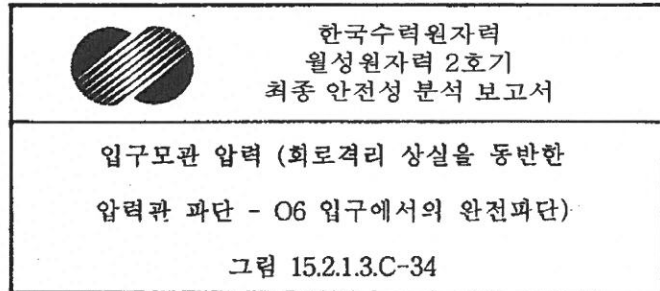
4ddf66e6-bba911081416



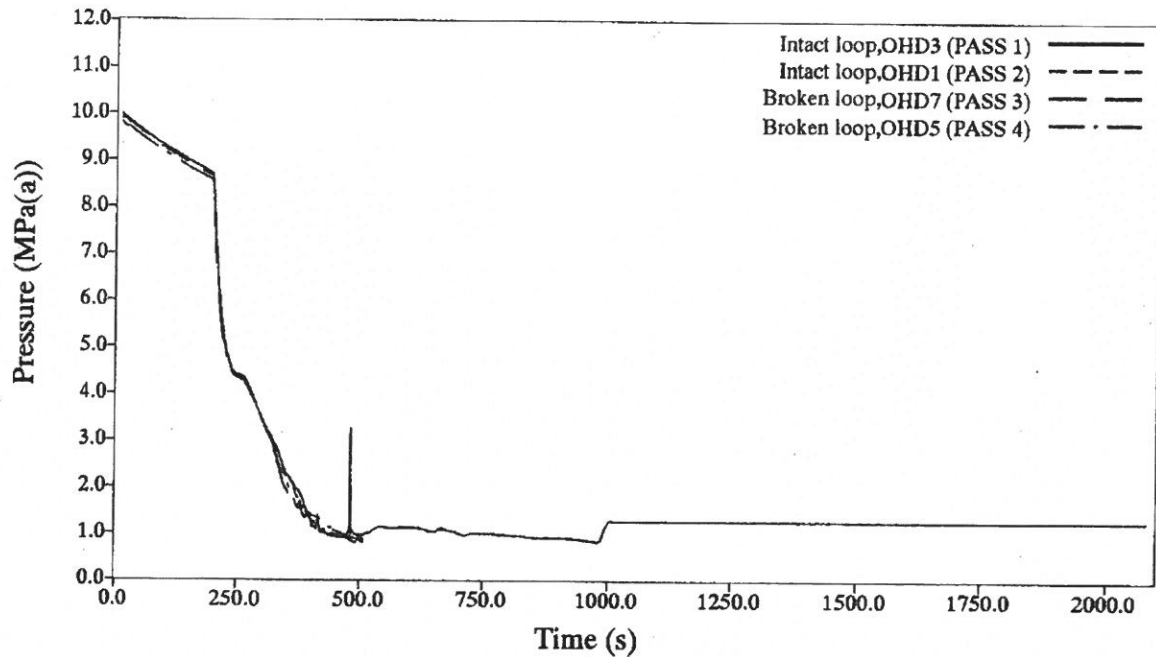
본 문서는 한국수력원자력(주)이 정보 공개용으로 작성한 문서입니다.



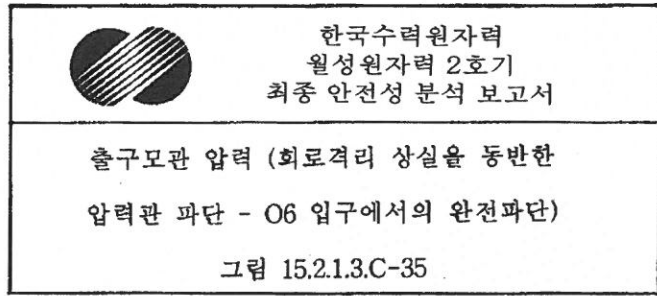
4ddf66e6-bba911081416



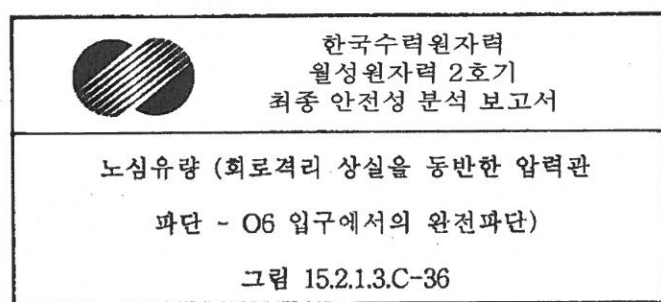
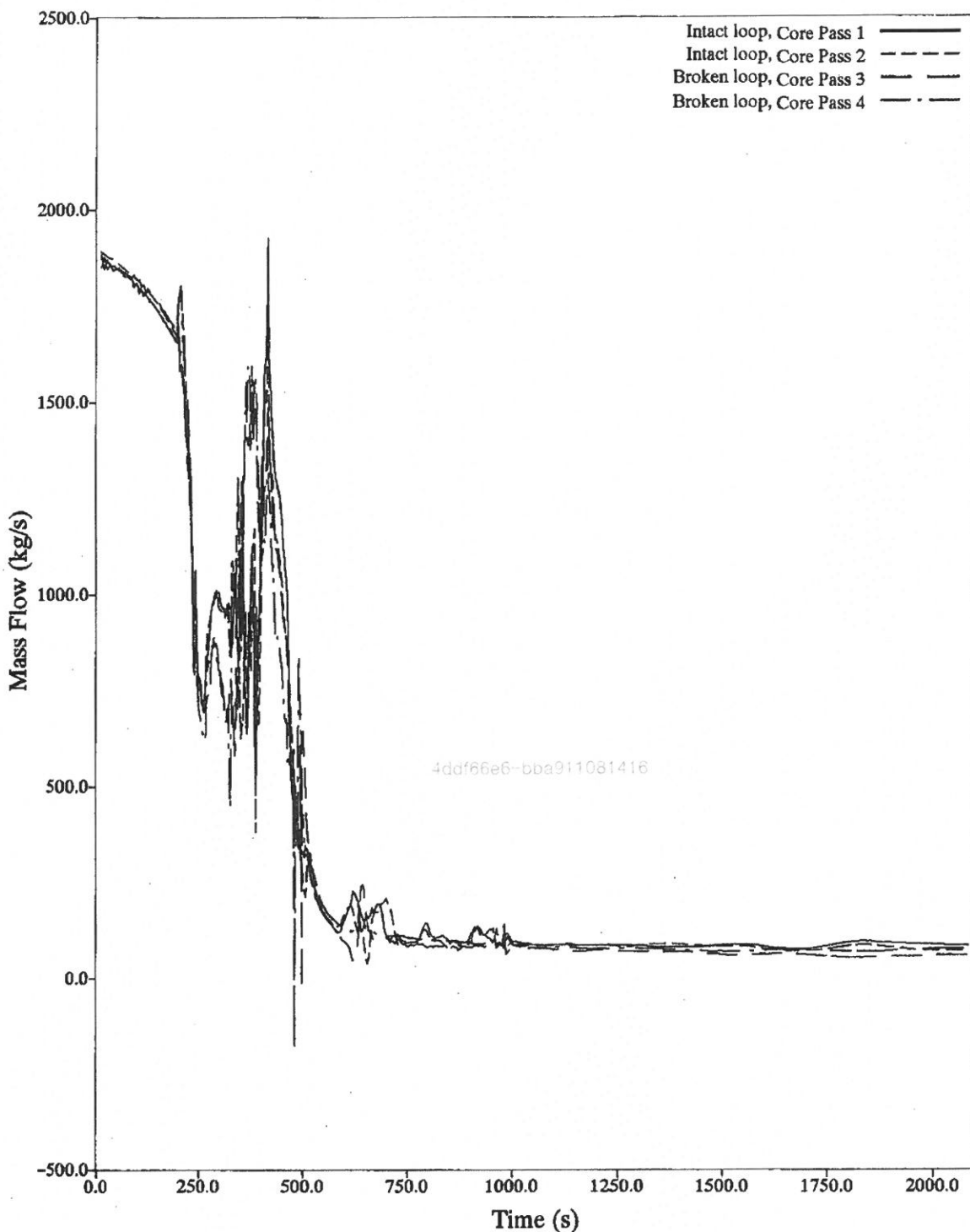
본 문서는 한국수력원자력(주)이 정보 공개용으로 작성한 문서입니다.



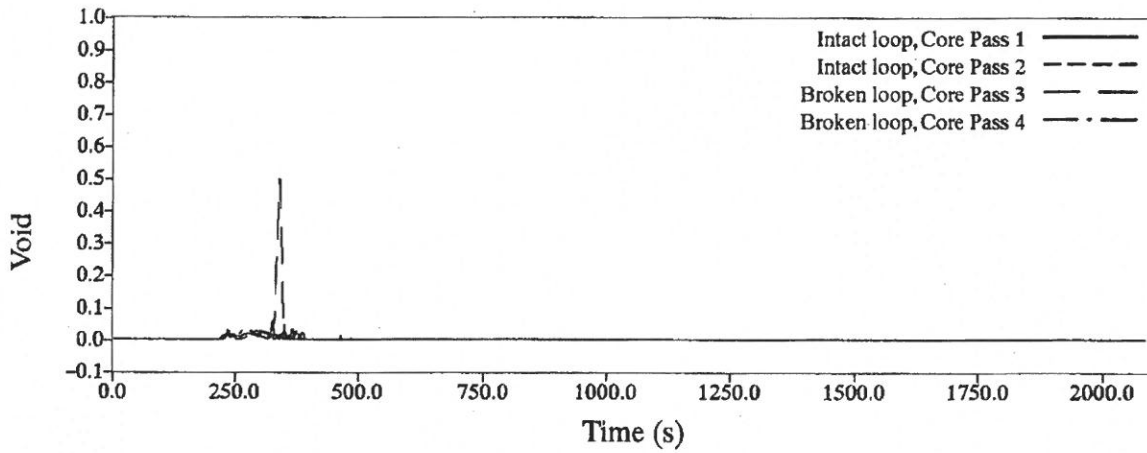
4ddf66e6-bba911081416



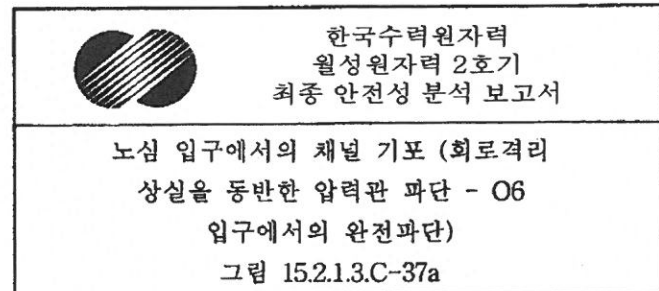
본 문서는 한국수력원자력(주)이 정보 공개용으로 작성한 문서입니다.



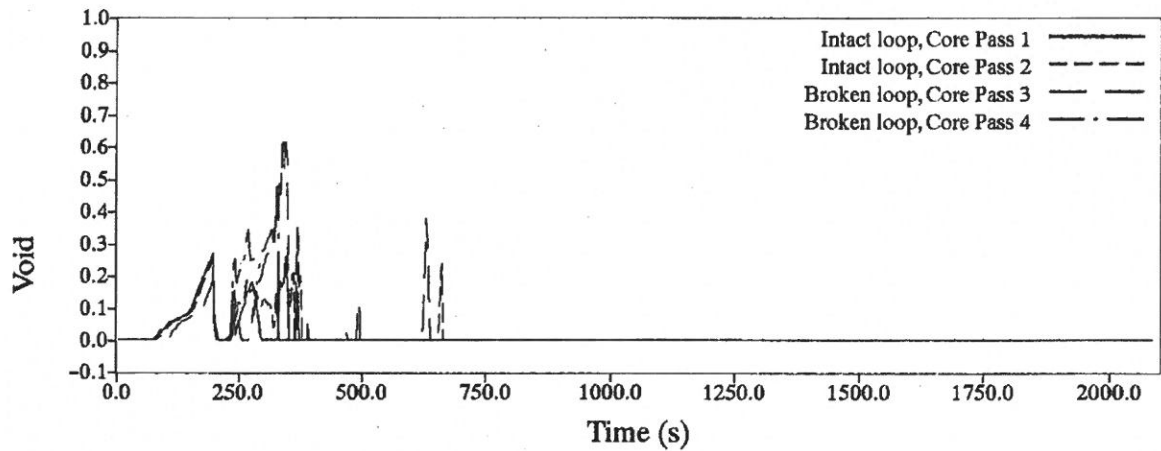
본 문서는 한국수력원자력(주)이 정보 공개용으로 작성한 문서입니다.



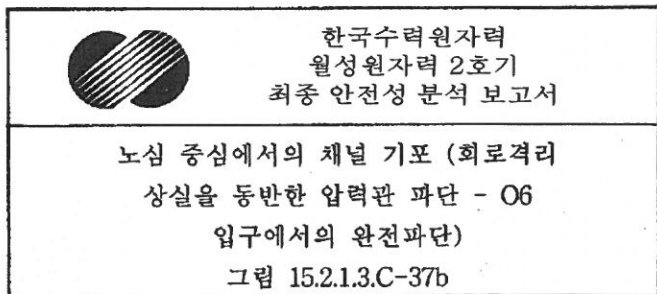
4ddf66e6-bba911081416



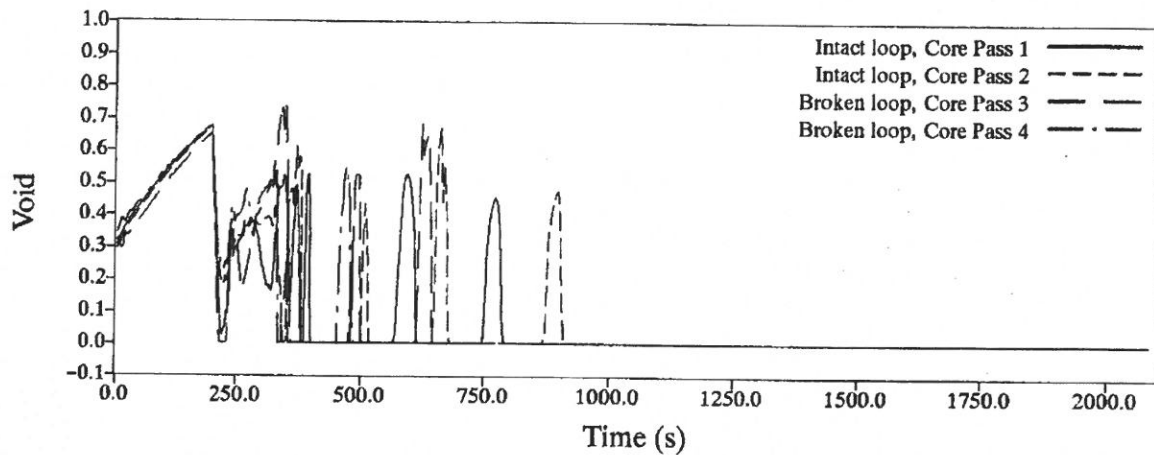
본 문서는 한국수력원자력(주)이 정보 공개용으로 작성한 문서입니다.



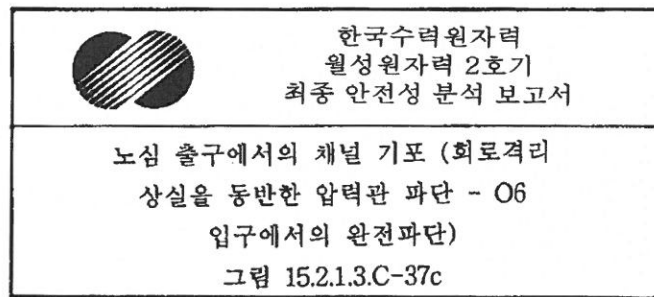
4ddf66e6-bba911081416



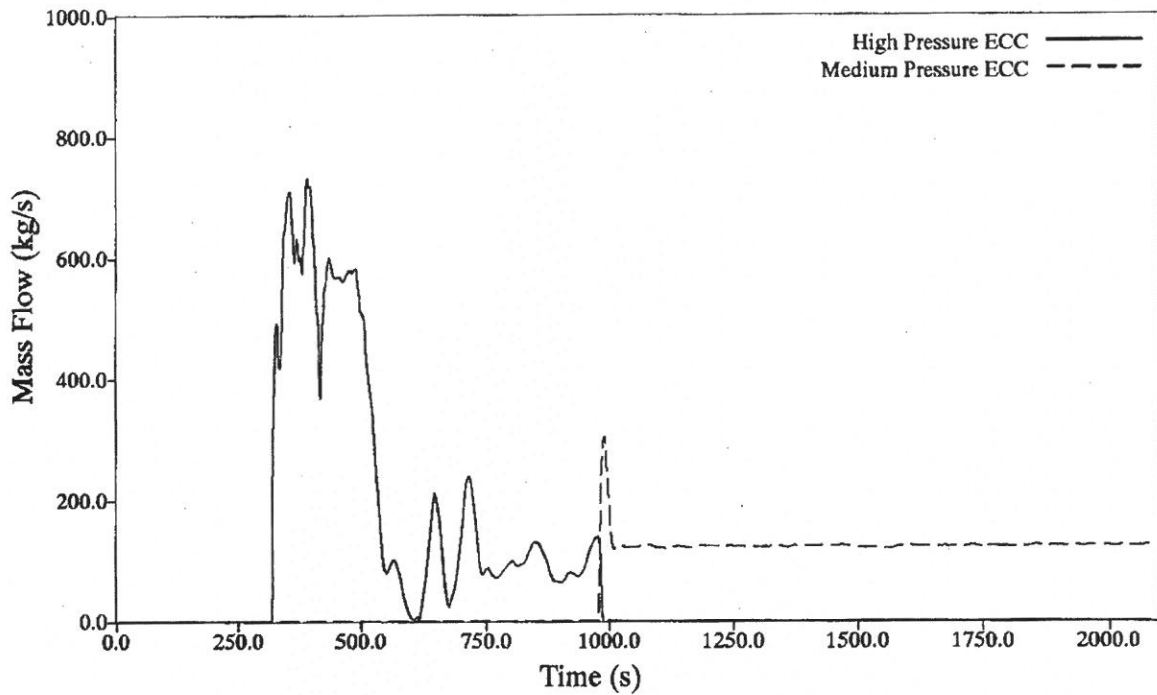
본 문서는 한국수력원자력(주)이 정보 공개용으로 작성한 문서입니다.



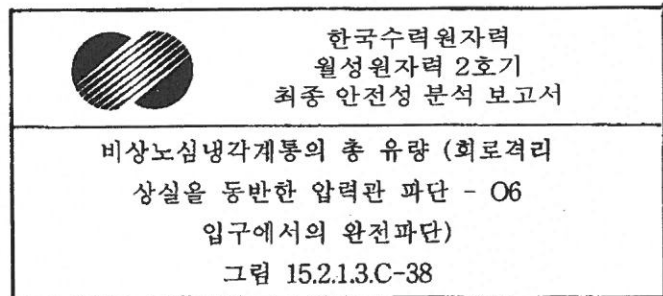
4ddf66e6-bba911081416



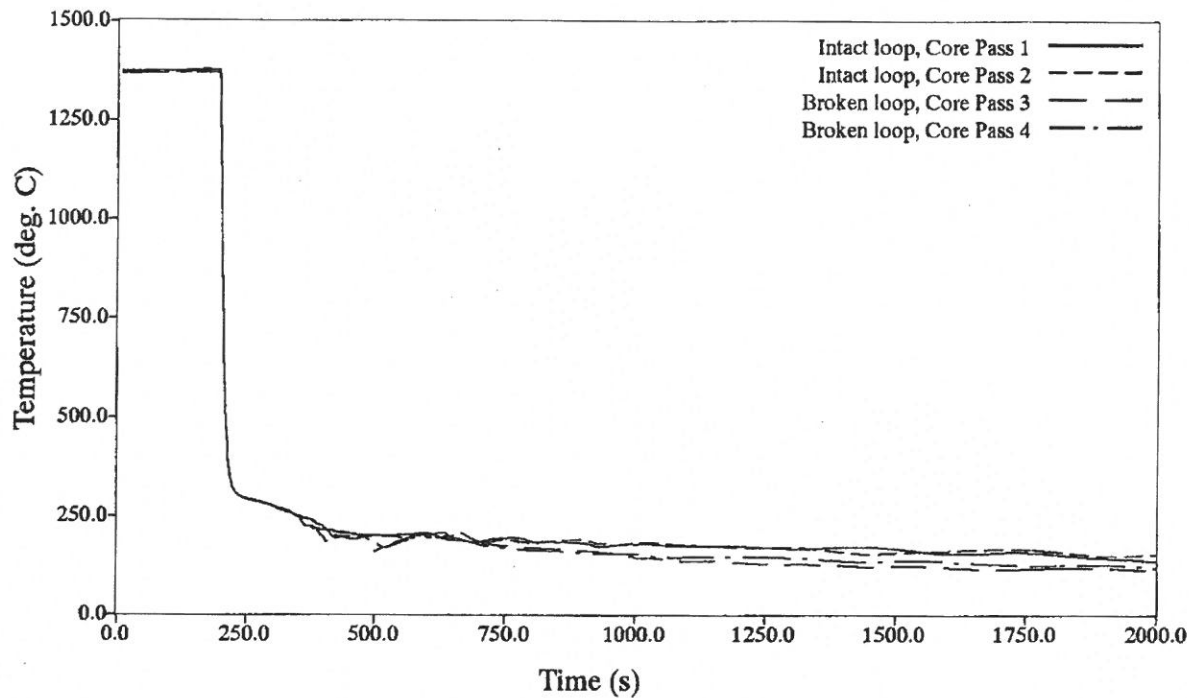
본 문서는 한국수력원자력(주)이 정보 공개용으로 작성한 문서입니다.



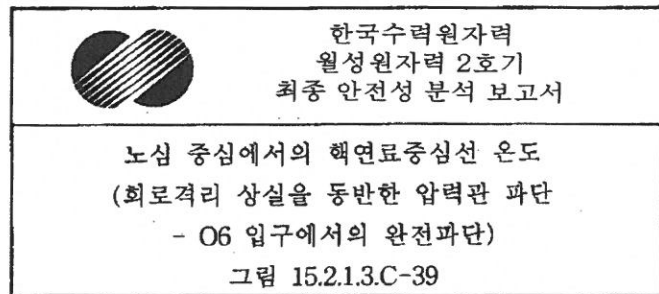
4ddf66e6-bba911081416



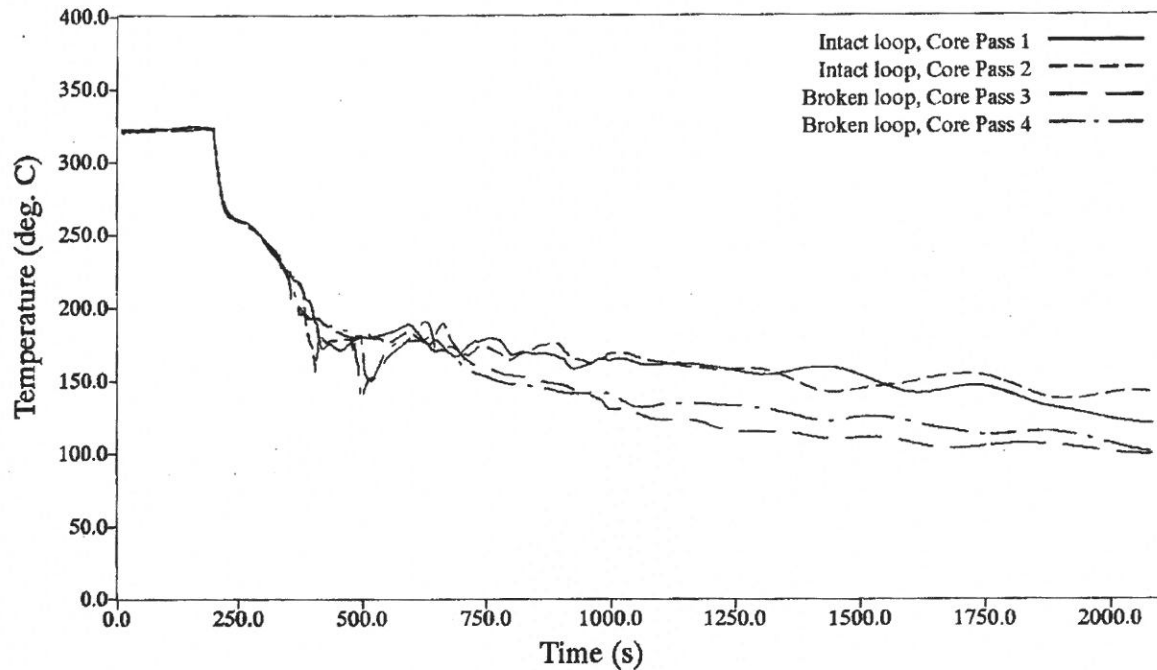
본 문서는 한국수력원자력(주)이 정보 공개용으로 작성한 문서입니다.



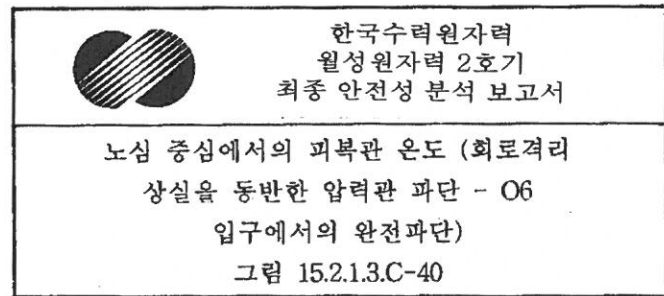
4ddf66e6-bba911081416



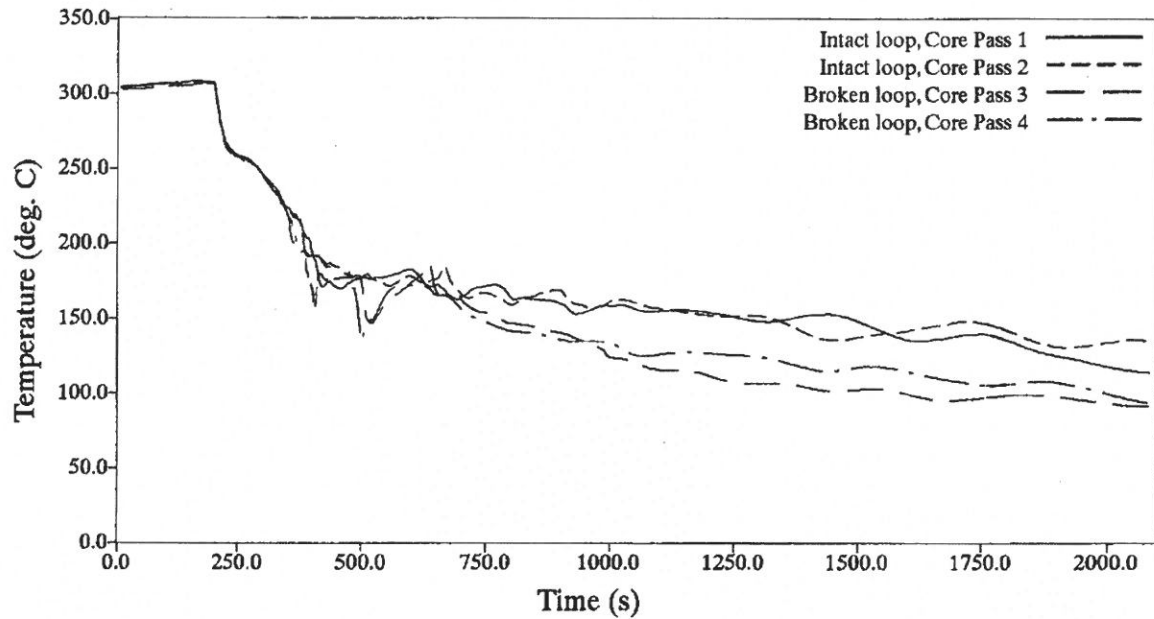
본 문서는 한국수력원자력(주)이 정보 공개용으로 작성한 문서입니다.



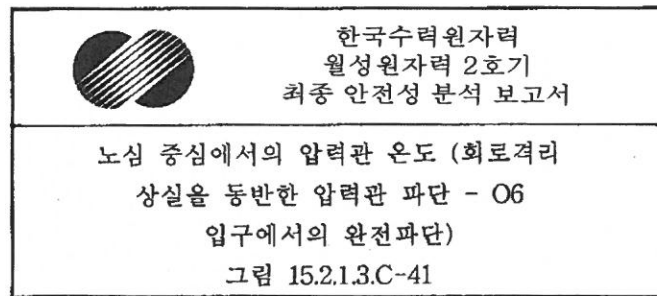
4ddf66e6-bba911081416



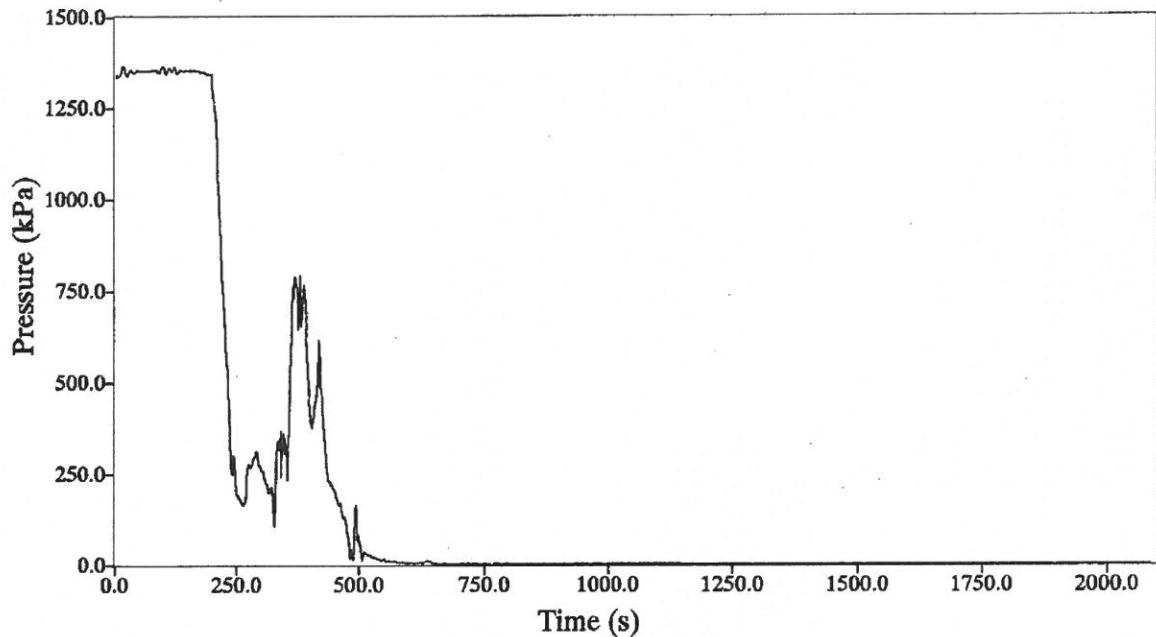
본 문서는 한국수력원자력(주)이 정보 공개용으로 작성한 문서입니다.



4ddf66e6-bba911081416



본 문서는 한국수력원자력(주)이 정보 공개용으로 작성한 문서입니다.



4ddf66e6-bba911081416

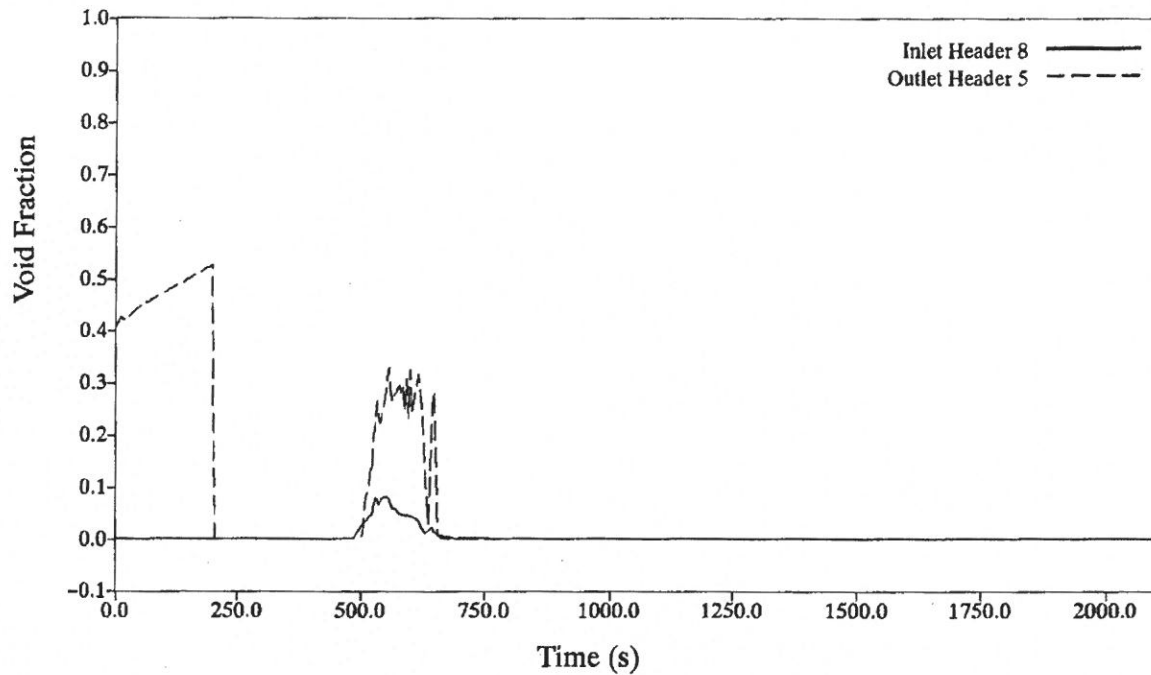
한국수력원자력
월성원자력 2호기
최종 안전성 분석 보고서

입구 및 출구 모관 사이의 압력차 (노심경로
4) (회로격리 상실을 동반한 압력관 파단 -
비파단 단일채널 O6_mod 모델)

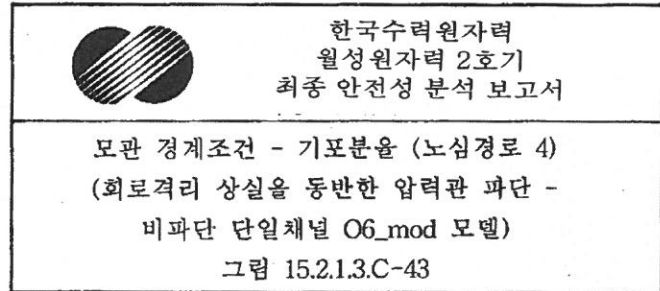
그림 15.2.1.3.C-42



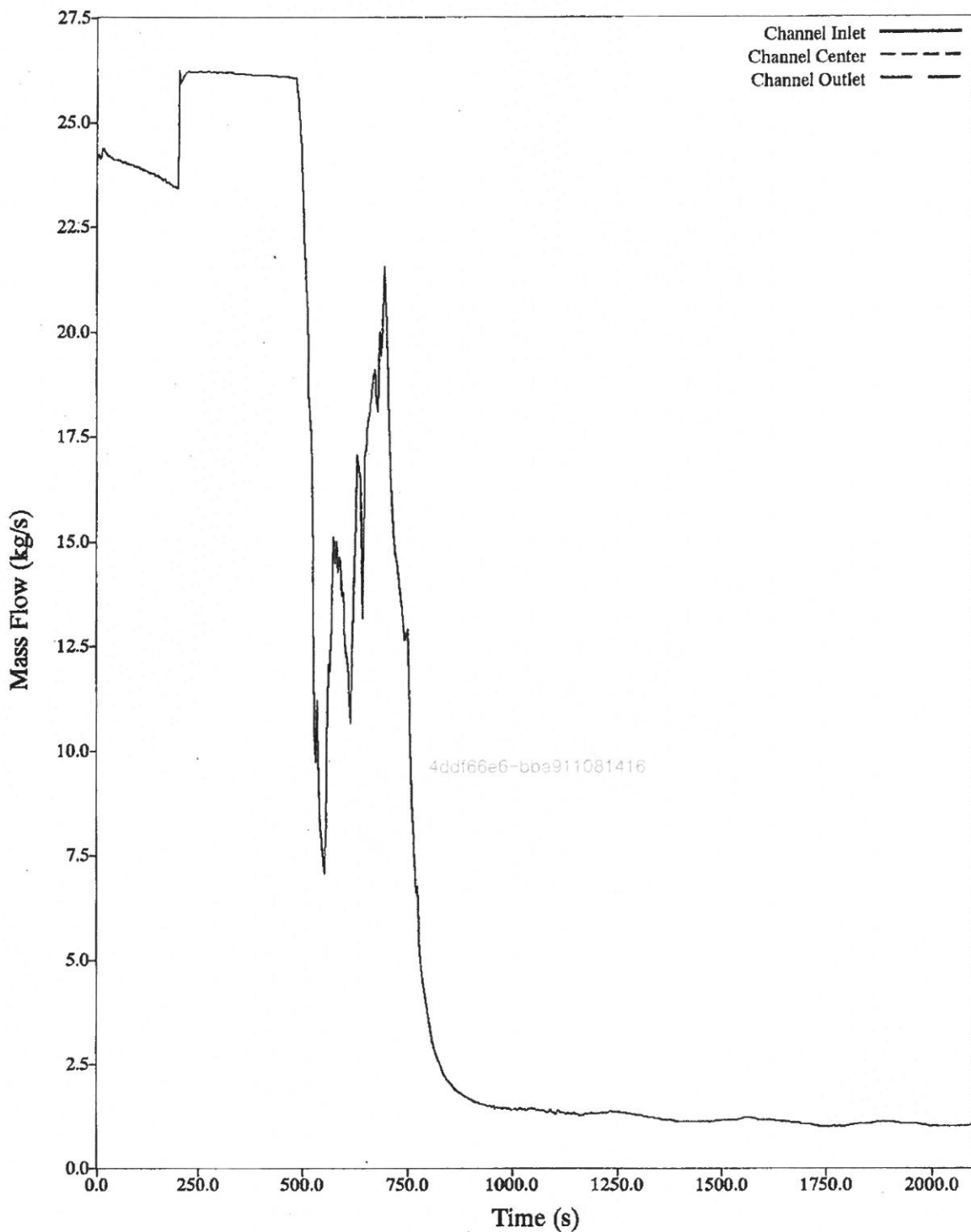
본 문서는 한국수력원자력(주)이 정보 공개용으로 작성한 문서입니다.



4ddf66e6-bba911081416



본 문서는 한국수력원자력(주)이 정보 공개용으로 작성한 문서입니다.



한국수력원자력
월성원자력 2호기
최종 안전성 분석 보고서

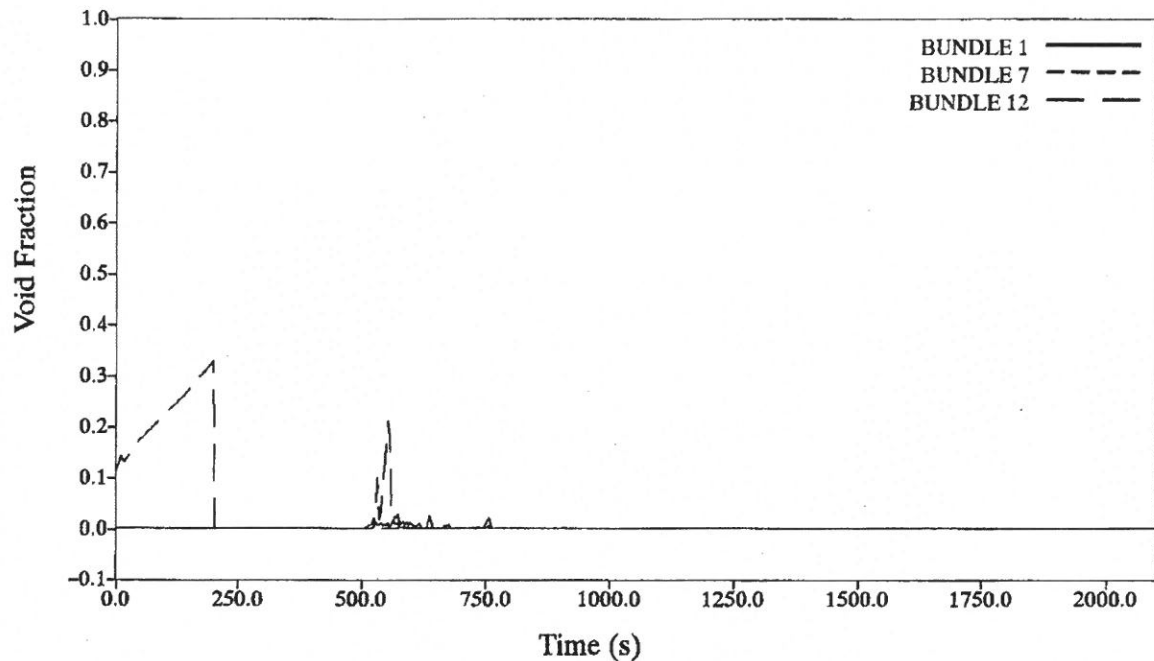


채널 유량 (회로격리 상실을 동반한 압력관

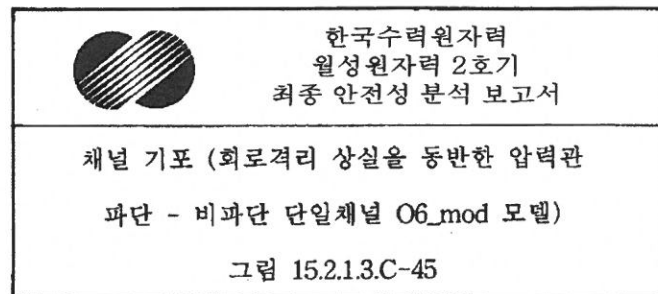
파단 - 비파단 단일채널 O6_mod 모델)

그림 15.2.1.3.C-44

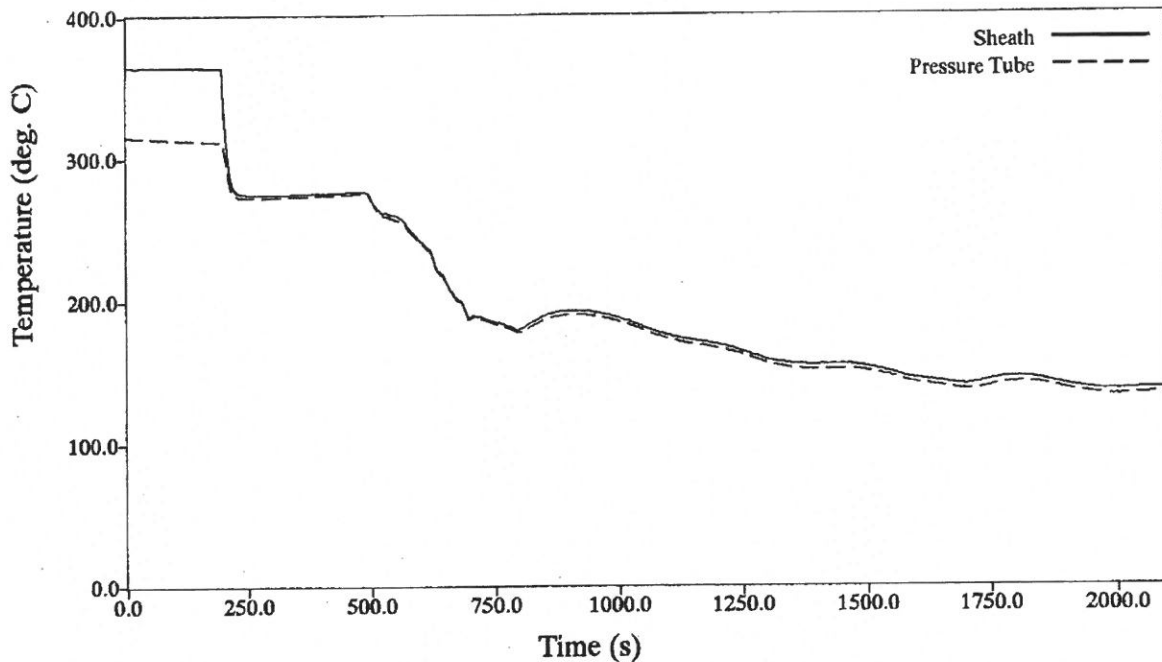
본 문서는 한국수력원자력(주)이 정보 공개용으로 작성한 문서입니다.



4ddf66e6-bba911081416



본 문서는 한국수력원자력(주)이 정보 공개용으로 작성한 문서입니다.



4addf66e6-bba911081416

